

π^+ π^- μ^+ μ^- e^+ e^-
 140 MeV 135 MeV
 $7(12 \times 10^8) \rightarrow 2(10^8) = 389 \text{ の 変換}$

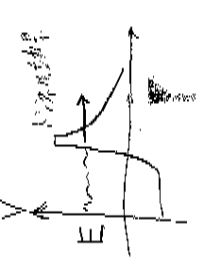
1. 放射線源と放射線

放射線源 2 種類 → α 線, γ 線 → α 線, β 線, 中性子線 そのほか

種類	放射源	放射過程	電荷	貫入 [MeV]	エネルギー-スペクトル
α 線 (He 原子核)	原子核	核崩壊	+2	3727.23	連続 [keV-MeV]
β^- 線 (電子)	原子核	核崩壊	-1	0.511	連続 [keV-MeV]
β^+ 線 (陽電子)	原子核	核崩壊	+1	0.511	連続 [keV-MeV]
γ 線	原子核	核の崩壊	0	0	離散 [keV-MeV]
x 線	軌道電子	核の崩壊 → 基底	0	0	離散 [keV-MeV]
内層転換電子	軌道電子	核の崩壊 → 基底	-1	0.511	離散 [keV-MeV]
オーグスタ電子	軌道電子	核の崩壊 → 基底	-1	0.511	離散 [keV-MeV]
中性子	原子核	核反応	0	939.57	連続 [30-150 MeV]
核放射物	原子核	核分裂	~20	80~100	連続 [30-150 MeV]

2. 原子核の単位図

$(Z, A) \rightarrow (Z-2, A-4) + \alpha$
 $(Z, A) \rightarrow (Z+1, A) + \beta^- + e^- + \bar{\nu}$



- α 崩壊
 - Geiger の透過因子、高エネルギーほど透過率高く半減期長い
 - おおむね 4-6 MeV
 - α 崩壊一回で核状態に落ちることがほとんど (β崩壊はそのあと γ 崩壊を伴うことがほとんど)
 - 1つの核種から複数のエネルギー-スペクトルをもつ α 線が出ることもある
 - α 線の物質中での射程は極めて短い (電荷が +2 だから) (6 MeV でも空気中で数 cm)
 - そのため α 線源は薄く作られている → 放射線計測では放射線計測器
- β崩壊
 - 陽子の中性子に、中性子が陽子に崩壊する。(逆もあり)
 - $n \rightarrow p + e^- + \bar{\nu}$ (中性子過剰核)
 - $p \rightarrow n + e^+ + \nu$ (陽子過剰核)

放射線計測器は放射線計測器の放射線計測器

放射線計測器は放射線計測器の放射線計測器

放射線計測器は放射線計測器の放射線計測器

放射線計測器は放射線計測器の放射線計測器

- β線のエネルギーは連続分布 (3 体の相対エネルギーとエネルギーを分け合う)
- 最大エネルギー → Q 値 → 数十 keV ~ 数 MeV
- ほとんどが β崩壊後に γ 崩壊を起す
- γ 崩壊を伴わない β崩壊はごくわずか
- 崩壊の β崩壊分岐をもつ核種もある
- β線の物質中の射程は比較的短い (電荷があるから)
- そのため陽電子線源は特に強く作る必要がある (線源中の電子と其消滅するから)

$p + e^- \rightarrow n + \nu$ (陽子過剰核)

- 電子が抜けた後のホールと軌道電子との相互作用で出る x線やオーグスタ電子で観測できる
 - 放射線計測の K 電子が捕獲されやすいため (K 電子の捕獲率もある)
6. γ 崩壊
- 原子核も崩壊状態を光 (γ 線) を含んだり吐いたりして降り変わる。したがって γ 線のスペクトルは離散的である。
- 原子核の崩壊状態は β崩壊後に行き
 - 核反転でもできる
 - β崩壊でも β線は連続されて観測できず、後に続く γ 線だけが見えることもある
- 6.1. アイソマー
- 崩壊状態から落ちるのに時間がかかる原子核をアイソマーという。
- 普通、崩壊前後のスピン差が大きいと長くなる

^{60}Co

- 放射線による光放出
- 崩壊電子と電子は放射線として 2 種の 511 keV の光を出す。
- 運動量保存則によって 2 種の光は逆方向に飛ぶ

- α 線源に何を打ちかかるとして、出てくる中性子の個数やエネルギーは異なる
- 出てくる中性子のエネルギー分布は連続的(入射 α 粒子のエネルギーが物質によつてばらつくから)
- ドップラー広がりもある($\sim 2\text{MeV}$)
 - ${}^9\text{Be} + \gamma \rightarrow {}^8\text{Be} + n$
 - ${}^2\text{H} + \gamma \rightarrow \text{H} + n$
- 出てくる中性子のエネルギー分布は α 線を使う方法よりも単一(γ 線は物質の影響を受けにくいから)
- 得られる中性子数は α 線を使う方法よりも少ない
- γ 線は連続しにくいため γ 線によるバックグラウンドが出る



7. 内部転換電子
原子核の励起状態からの遷移は γ 線の放出だけでなく、軌道電子との相互作用による電子の放出によつても起こる。

- 原子核の励起エネルギー-原子軌道の束縛エネルギー=電子の運動エネルギー
- したがってエネルギーは数百keV~数MeVである
- K電子が最も転換しやすいが、他の軌道でも起こる
- したがっていくつかのエネルギーをもつ内部転換電子が同じ原子核から出てくることもある
- 内部転換電子はエネルギーがそろつた電子なのでキャリブレーションにつかまれる

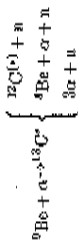
8. オージェ電子
電子捕獲や内部転換のあとに生じた電子殻の真空状態が、 α 線ではなく、電子の放出により解消されることがある。

- 単一のエネルギー-スベクトルをもつ
- 1つの原子から複数のエネルギー-スベクトルをもつオージェ電子が出る場合もある
- 数keV以下である
- 従つてとても吸収されやすく、検出が難しい

9. 中性子源
中性子を放出する同位体を人工的に合成することは可能だが、実験に使える中性子を放出する元素は自然界には存在しない。

- 9-1. 自発核分裂
自発核分裂を起す元素はウラン転換物に多くみられる。
 - 最もよく使われるのが ${}^{235}\text{CF}$ である
 - エネルギーは最高10MeV
- エネルギー分布はマクスウェル分布である

9-2. 核反応
より簡単に中性子を作る方法は核反応を使う方法である。



1.10 放射能の単位

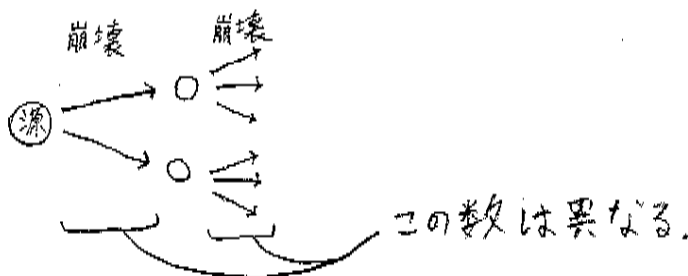
放射能の強さ: 単位時間あたりの崩壊の数
崩壊する物質の量に依存

単位: 1 Curie (Ci) = 1秒間に 3.7×10^{10} 回の崩壊
(= ^{226}Ra 1g が 1秒間に崩壊する数)

これは使いにくい。実用的には...

⇒ 1 Becquerel (Bq) = 1秒間に 1回の崩壊

注意) 放射能の強さと、最終的に放射される放射線の量は、必ずしも一致しない。



他の関連した単位

gray (Gy): 物体に放射線が当たったとき、その物体 1 kg が吸収したエネルギーの量. $1 \text{ Gy} = 1 \text{ J/kg}$

sievert (Sv): 放射線が生物に与える影響を共通の尺度で表したもの。
放射線の種類によって影響は異なるため、gray 単位で表した値に修正係数をかけて求める。

1.11 放射性崩壊の法則

崩壊核の個数 N , 単位時間あたりの崩壊の個数の平均 λ

$$dN = -\lambda N dt$$

$$\Leftrightarrow N(t) = N(0) \exp(-\lambda t)$$

$$= N(0) \exp\left(-\frac{t}{\tau_m}\right) \quad (\tau_m = 1/\lambda)$$

半減期 $T_{1/2}$

$$T_{1/2} = \frac{1}{\lambda} \ln 2 = \tau_m \ln 2$$

1.11.1 放射性崩壊のゆらぎ

量子力学によると、ある時間あたりの崩壊の個数を 完全に予測 することはできない。 \Rightarrow 平均値の採用

どれほどの変動幅があるのだろうか? \rightarrow 標準偏差 (いわゆる統計誤差)

Δt 間にイベントが n カウント観測される確率を $P(n, \Delta t)$

$$P(n, \Delta t) = \frac{m^n}{n!} \exp(-m)$$

m : Δt 間に観測されるイベントの平均カウント数

ポアソン分布

$$\text{標準偏差 } \sigma = \sqrt{m}$$

例 1.1) 5秒間で 900 カウントのイベントを観測

$$\sigma = \sqrt{900} = 30$$

1秒間のカウントの割合は

$$(900 \pm 30) / 5 = (180 \pm 6) \text{ [counts/s]}$$

例 1.2) 平均 1 counts/s の弱い放射線源

4秒間で、i) イベントが観測されない確率

ii) 1度だけイベントが観測される確率

$$i) \quad 4^0 \cdot \frac{e^{-4}}{0!} = 0.0183$$

$$ii) \quad 4^1 \cdot \frac{e^{-4}}{1!} = 0.0733$$

1.11.2 崩壊性崩壊の連鎖

連鎖的に崩壊する場合 \Rightarrow $A \xrightarrow{\lambda_a} B \xrightarrow{\lambda_b} C$
不安定 不安定 安定

$$\begin{cases} \frac{dN_a}{dt} = -\lambda_a N_a \\ \frac{dN_b}{dt} = \lambda_a N_a - \lambda_b N_b \\ \frac{dN_c}{dt} = \lambda_b N_b \end{cases}$$

$$\Leftrightarrow \begin{cases} N_a(t) = N_a(0) \exp(-\lambda_a t) \\ N_b(t) = N_a(0) \frac{\lambda_a}{\lambda_b - \lambda_a} [\exp(-\lambda_a t) - \exp(-\lambda_b t)] \\ N_c(t) = N_a(0) \left\{ 1 + \frac{1}{\lambda_b - \lambda_a} [\lambda_a \exp(-\lambda_b t) - \lambda_b \exp(-\lambda_a t)] \right\} \end{cases}$$

N_b が max となるような $t = t_{max}$ を求める $\Rightarrow \frac{dN_b}{dt} = 0$ となる t を求める

$$\lambda_a N_a(t_{max}) = \lambda_b N_b(t_{max})$$

$$t_{max} = \frac{\ln \frac{\lambda_b}{\lambda_a}}{\lambda_b - \lambda_a}$$

プリント Fig. 1.7. 参照

BとAの放射能の比

$$\frac{\lambda_b N_b}{\lambda_a N_a} = \frac{\lambda_b}{\lambda_b - \lambda_a} \{1 - \exp[-(\lambda_b - \lambda_a)t]\}$$

を考える。この値について。

i) $\lambda_a > \lambda_b$

tが大きくなるとともに増加していく。

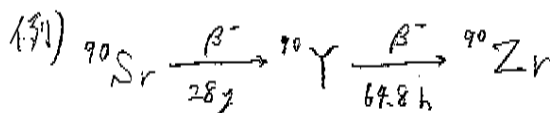
ii) $\lambda_b > \lambda_a$

tが大きくなると、一定の値 $(= \frac{\lambda_b}{\lambda_b - \lambda_a} > 1)$ に収束 \Rightarrow 過渡平衡

iii) $\lambda_b \gg \lambda_a$

すみやかに、およそ1に収束 \Rightarrow 永続平衡

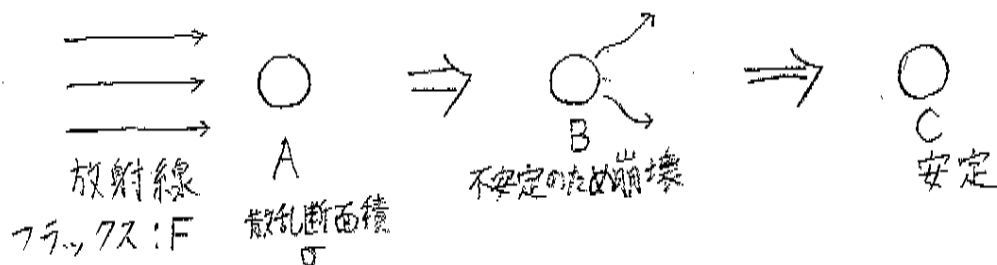
i) ~ iii) について、プリント Fig. 1.8 参照。



実質、半減期 28 年の ${}^{90}\text{Y}$ と考えることができる。

1.11.3 放射線による放射性同位体の生成

上記の議論の応用として、物質に放射線を照射し、放射性同位体をつくることを考える。



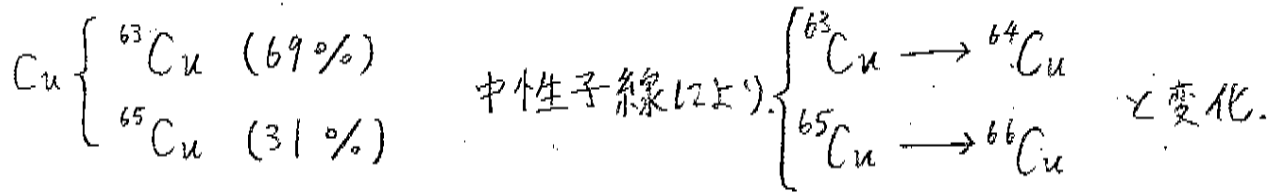
$$\begin{cases} \frac{dN_a}{dt} = -F\sigma N_a = -\lambda_a N_a \\ \frac{dN_b}{dt} = -\lambda_b N_b + \lambda_a N_a \end{cases}$$

1.11.2) と同様の式ができる。

Cの数は直接関係しないので省略。

例 1.3)

1g の Cu に、フラックス $F = 10^9 \text{ cm}^{-2}\text{s}^{-1}$ の中性子線を
15分間照射した場合。



散乱断面積

$$\sigma({}^{63}\text{Cu} + n \rightarrow {}^{64}\text{Cu}) = 4.4 \text{ barns} = 4.4 \times 10^{-24} \text{ cm}^2$$

$$\sigma({}^{65}\text{Cu} + n \rightarrow {}^{66}\text{Cu}) = 2.2 \text{ barns} = 2.2 \times 10^{-24} \text{ cm}^2$$

${}^{64}\text{Cu}$, ${}^{66}\text{Cu}$ は不安定であり、半減期 $T_{1/2}$ はそれぞれ

12.7 時間、5.1 分。 ${}^{64}\text{Cu}$, ${}^{66}\text{Cu}$ の放射能の強さはどうなる?

$$\begin{cases} \frac{dN_a}{dt} = -F\sigma N_a = -\lambda_a N_a \\ \frac{dN_b}{dt} = -\lambda_b N_b + \lambda_a N_a \end{cases}$$

$$\lambda_a = F\sigma = \begin{cases} 4.4 \times 10^{-15} \text{ s}^{-1} & {}^{64}\text{Cu} \\ 2.2 \times 10^{-15} \text{ s}^{-1} & {}^{66}\text{Cu} \end{cases}, \quad \lambda_b = \begin{cases} 0.054 \text{ h}^{-1} & {}^{64}\text{Cu} \\ 0.136 \text{ min}^{-1} & {}^{66}\text{Cu} \end{cases}$$

放射能の強さ

$$\lambda_b N_b = N_a(0) \frac{\lambda_a \lambda_b}{\lambda_b - \lambda_a} [\exp(-\lambda_a t) - \exp(-\lambda_b t)]$$

$$\approx N_a(0) \lambda_a [1 - \exp(-\lambda_b t)] \quad (\because \lambda_a \ll \lambda_b, \lambda_a t \ll 1)$$

$$N_a(0) = (6.02 \times 10^{23} / A) \times (\text{存在の割合}) \times (1\text{g})$$

$$\therefore \lambda_b N_b(15 \text{ min}) = \begin{cases} 3.86 \times 10^5 \text{ Bq} = 10.43 \mu\text{Ci} & {}^{64}\text{Cu} \\ 5.62 \times 10^6 \text{ Bq} = 152 \mu\text{Ci} & {}^{66}\text{Cu} \end{cases}$$

$$t_{\text{max}} = \begin{cases} 16.8 \text{ days} & {}^{64}\text{Cu} \text{ (28.79 MBq} = 778 \mu\text{Ci)} \\ 3.4 \text{ h} & {}^{66}\text{Cu} \text{ (6.48 MBq} = 175 \mu\text{Ci)} \end{cases}$$

II. 物質を通過する放射線の軌道

2.1 下準備-考え方や定義など

2.1.1 散乱断面積

F: フラックス = 単位時間、単位面積あたりの粒子の数

N_s : 単位時間あたりに散乱される粒子の平均の数 ← depend on Ω, E
 $N_s = N_s(E, \Omega)$

単位フラックス、単位時間あたりに、ターゲットから立体角 $d\Omega$ の範囲内に散乱される粒子の個数 = 微分断面積

$$\frac{d\sigma}{d\Omega} = \frac{1}{F} \frac{dN_s}{d\Omega}$$

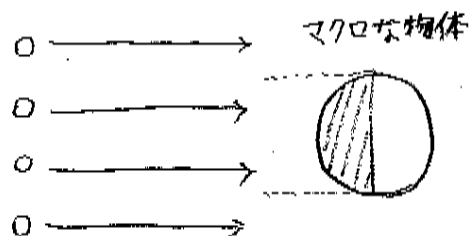
もしくは、

$$\frac{d\sigma}{d\Omega} = \frac{\text{単位時間に}\Omega\text{方向の単位立体角内に散乱される粒子の数}}{\text{単位時間あたりに単位面積を通過して入射する粒子の数}}$$

これを全立体角で積分したもの

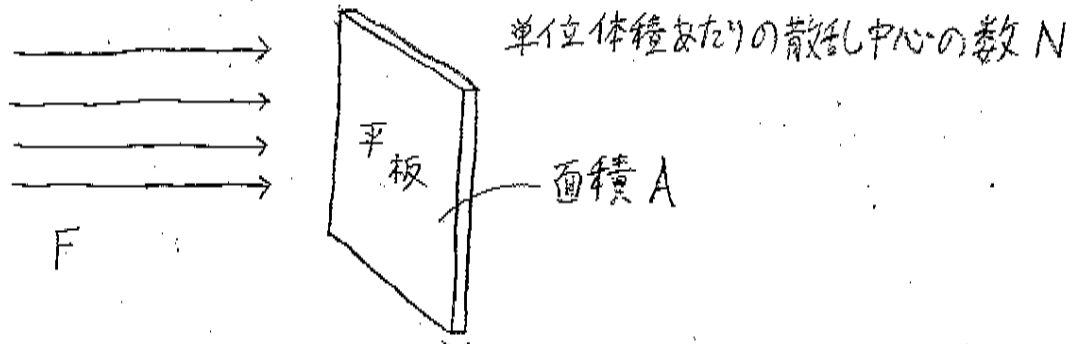
$$\sigma = \int d\Omega \frac{d\sigma}{d\Omega} \quad : \text{全散乱断面積}$$

ビジュアル的なイメージ ※あくまでイメージ



ビームが衝突できるのは、ビームから見た断面積 → 散乱断面積

次に、もう少し現実に即した状況を考える。



単位時間あたりに立体角 $d\Omega$ の範囲内に散乱される粒子の個数は

$$N_s = FAN\delta x \frac{d\sigma}{d\Omega} \quad (\text{ビームの幅が平板より広い場合})$$

全方向に散乱される粒子は、 Ω で積分して

$$N_{tot} = FAN\delta x \sigma \quad \left(\begin{array}{l} * \text{ビームの幅が平板より狭い場合は} \\ FA \rightarrow (\text{単位時間に照射される粒子の数}) \\ \text{とすればよい} \end{array} \right)$$

N_{tot} は、単位時間あたり、どの方向でもよいので散乱する粒子の個数。したがって、単位時間あたりに照射される粒子の個数 FA で割ると、平板内 δx の道む間に散乱する確率 となる。

その確率は、 $N\sigma\delta x$ である。

← これ後で使う!

※ $F \cdot \frac{d\sigma}{d\Omega}$ で $\sqrt{}$ 散乱されるビームが、粒子に対して Ω 方向の $d\Omega$ の内に散乱される個数

そこに A をかけて

全面積のビームを考えると $N\sigma\delta x$ となる。

さらに $N\delta x$ をかけて、全粒子に対して $N\sigma\delta x$ となる。

2.1.2 距離 x 間での相互作用の確率, 平均自由行程

2.1.1では厚さ δx の平板を考えたが、今度はより一般的に、任意の厚さ x の場合を考える。←別に物質の厚さが x だけだから、こゝには w が入るかも。

$P(x)$: 粒子が x 進んでまた相互作用しない確率 ←

$w dx$: $x \sim x+dx$ の間に相互作用を起こす確率

$x \sim x+dx$ 間で相互作用を起こさない確率は、

$$P(x+dx) = P(x)(1-w dx)$$

1次の展開

$$P + \frac{dP}{dx} dx = P - P w dx$$

$$dP = -P w dx$$

$$P = \exp(-wx) \quad (P(0)=1 \text{ より、定数を } 1 \text{ とした})$$

x 進む間のどこかで相互作用を起こす確率 ($\equiv P_{int}(x)$) は、

$$P_{int}(x) = 1 - \exp(-wx)$$

相互作用せず x 進み、 $x \sim x+dx$ の間で相互作用を起こす確率 ($\equiv F(x) dx$) は、

$$F(x) dx = P \cdot w dx \\ = \exp(-wx) w dx$$

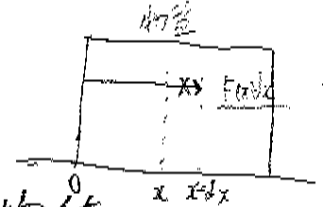
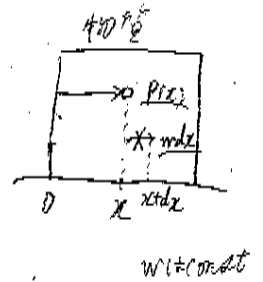
相互作用を起こさず粒子が進むことのできる距離の平均値、すなわち $P(x)$ のもとでの x の期待値 λ は、

$$\lambda = \frac{\int_0^{\infty} x P(x) dx}{\int_0^{\infty} P(x) dx} = \frac{1}{w}$$

λ を、平均自由行程 という。

なにを求めたのかわかるように、さあさあ!

- 相互作用せず x 進み、 $x \sim x+dx$ の間で相互作用を起こす確率 $F(x) dx$
- $P(x)$ の確率のもとでの x の期待値 λ
- λ と、 σ とか N とか γ の関係
- それらを使ってもう一度 $F(x) dx$ をおぼろす



$P_{int}(x)$ の式に λ を代入し、 $x = \delta x$ として \exp の項を展開

$$P_{int} = 1 - \left(1 - \frac{\delta x}{\lambda} + \dots\right) \approx \frac{\delta x}{\lambda}$$

これを 2.1.1 の最後で導いた確率と比較

$$\frac{\delta x}{\lambda} = N\sigma \delta x$$

$$\therefore \lambda = \frac{1}{N\sigma}$$

したがって、これを P , P_{int} , $F dx$ の式に代入して

$$P(x) = \exp(-N\sigma x)$$

$$P_{int}(x) = 1 - \exp(-N\sigma x)$$

$$F(x) dx = \exp(-N\sigma x) N\sigma dx$$

となる。

2.1.3 表面密度の単位

放射線と物体の相互作用を考慮するとき、表面密度 (surface density) や重量厚さ (mass thickness) の単位を用いると便利。

$$\text{mass thickness} \equiv \rho \cdot t \quad (\rho: \text{質量密度}, t: \text{厚さ})$$

(単位は、[質量]/[長さ]²)

同じ mass thickness をもつ物体は、放射線に対して大体同じような反応をする。

$$1 \text{ barn} = 10^{-24} \text{ cm}^2$$

1/2.2 原子衝突による重粒子のエネルギー損失

4月22日

担当:河合

荷電粒子が物質を通過したときの重要な特徴

- 1) 粒子によるエネルギー損失 ← 原子内電子との非弾性衝突
- 2) 入射方向からのズレ ← 原子核との弾性散乱 原子・電子雲との相互作用

(3) チェレンコフ放射による発光

(4) 核反応

(5) 制動放射 ← 無視できる

入射粒子を2つに分ける (物質中の原子核の電場において) 制動を 臨界エネルギー $E_c \approx 600 \text{ MeV}/\gamma$ を超えると重要

(1) 電子, 陽電子 (受けた電子は光子を放出してエネルギーを失う)

(2) 重粒子: μ, π, p, α 粒子, 軽い原子核

エネルギー損失は非弾性衝突によって起こる. $\sigma = 10^{-17} - 10^{-16} \text{ cm}^2$

粒子のエネルギー → 原子のイオン化や励起に使われる.

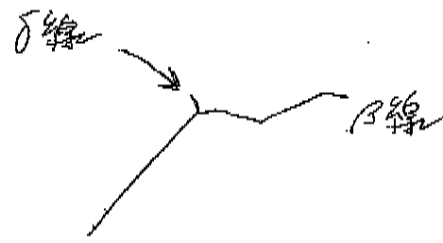
衝突による損失は、運動エネルギーに比べて小さいが、高密度物質では衝突回数 \odot → エネルギー損失が観測される.

電子雲との衝突は原子核との衝突に比べて大きい

10 MeV 陽子 0.25 mm の銅で止まる

soft collisions: 励起のみ

hard collisions: イオン化される十分なエネルギー



霧箱の状態が良好であるとき、衝突によって分子からはじき出された電子 (たまたま高エネルギーだったもの) の飛跡

knock-on electron 原子核が弾き出された電子

弾性散乱

- ・電子との衝突は起こらない
- ・入射粒子より原子核の質量 \odot → エネルギー伝達はほとんどない

非弾性衝突 量子力学的確率で起こる.

マクロな長さで見ると回数大

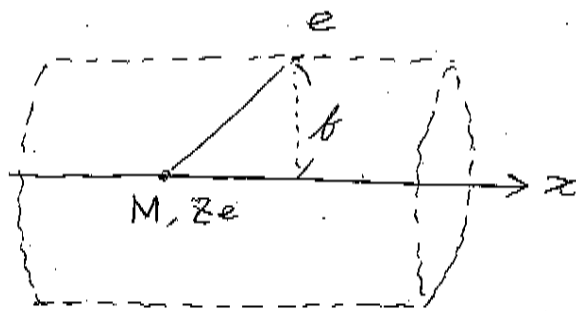
阻止能 $\frac{dE}{dx}$: 単位長さ当りのエネルギー損失

Stopping power

4.2.1 ボーアによる計算 - 古典的な場合

重粒子 電荷 Ze , 質量 M , 物質媒体中の速度 v

衝突パラメータ b



電子が少ししか動かない

→ 電場が変わらない

重粒子の軌道がそれない ($M \gg m_e$)

重粒子への衝突で受け取った力積から電子が得たエネルギーを考へる

$$I = \int F dt = e \int E_{\perp} dt = e \int E_{\perp} \frac{dt}{dx} dx = e \int E_{\perp} \frac{dx}{v} \quad (2.17)$$

E_{\parallel} は通過直前後で対称なので消える

無限に長い円柱に Gauss の法則を適用して

(2.17) に代入

$$\int E_{\perp} 2\pi b dx = 4\pi Ze \quad \therefore \int E_{\perp} dx = \frac{2Ze}{b} \quad \therefore I = \frac{2Ze^2}{bv}$$

電子が得たエネルギー

$$\Delta E(b) = \frac{I^2}{2m_e} = \frac{2Z^2e^4}{m_e v^2 b^2}$$

N_e : 電子密度 $b \sim b + db$, dx の間

$$-dE(b) = \Delta E(b) N_e dV = \frac{4\pi Z^2 e^4}{m_e v^2} N_e \frac{db}{b} dx \quad (2.20)$$

$2\pi b db dx$

b が大きすぎると衝突が短時間で起こらない → 撃力の計算 X

$b = 0$ で $\Delta E = \infty$ b が小さすぎても X

正面衝突でエネルギー最大 $\frac{1}{2} m_e (2v)^2$ 相対論 $2\gamma^2 m_e v^2$

(2.19) より b_{min} を与える

$$\frac{2Z^2e^4}{m_e v^2 b_{min}^2} = 2\gamma^2 m_e v^2 \quad \therefore b_{min} = \frac{Ze^2}{\gamma m_e v^2}$$

b_{max} について。電子が軌道周波数 ν で束縛

衝突, 電子がエネルギーを吸収するために引き起こされる振動 $\tau = \frac{1}{\nu}$ より短い時間

典型的な時間 $\tau \approx \frac{b}{v}$ $\tau \rightarrow \frac{\tau}{\gamma} = \frac{b}{\gamma v}$

$$\frac{b_{max}}{\gamma v} \approx \tau = \frac{1}{\nu} \quad \bar{\nu} = \text{中心周波数} \quad \therefore b_{max} = \frac{\gamma v}{\bar{\nu}}$$

(2.20) を $b_{min} \sim b_{max}$ と積分

$$-\frac{dE}{dx} = \frac{4\pi Z^2 e^4}{m_e v^2} N_e \ln \frac{b_{max}}{b_{min}} = \frac{4\pi Z^2 e^4}{m_e v^2} N_e \ln \frac{\gamma^2 m_e v^3}{Ze^2 \bar{\nu}}$$

α粒子や重い原子核では成立するが、陽子やような軽い粒子では量子力学的効果が現われてきて成り立たない

大事!
速度の2乗に反比例、原子番号の2乗に比例!

2.2.2 Bethe-Bloch の公式 — 電離(イオン化)によって失うエネルギー —
 量子力学的に正しい計算はパラメータ

衝突パラメータ $b \rightarrow$ 運動量移動
 観測不可能 観測可能

$$-\frac{dE}{dx} = 2\pi N_A r_e^2 m_e c^2 \rho \frac{Z}{A} \frac{z^2}{\beta^2} \left[\ln \left(\frac{2m_e \gamma^2 v^2 W_{max}}{I^2} \right) - 2\beta^2 - \delta - 2\frac{C}{z} \right]$$

- r_e : 電子半径
- m_e : 電子質量
- N_A : アボガドロ数
- Z : 吸収物質の原子番号
- A : " 質量数
- ρ : 吸収物質の密度
- z : 入射粒子の電荷
- $\beta = \frac{v}{c}$
- $\gamma = \frac{1}{\sqrt{1-\beta^2}}$
- δ : 補正
- C : "

$$2\pi N_A r_e^2 m_e c^2 = 0.1535 \text{ MeV cm}^2/\text{g}$$

W_{max} : 1回の衝突で伝達する最大のエネルギー

$$W_{max} = \frac{2m_e c^2 \gamma^2}{1 + 2s\sqrt{1+\eta^2} + s^2}$$

← 運動学的に

$$s = \frac{m_e}{M}, \quad \eta = \beta \gamma$$

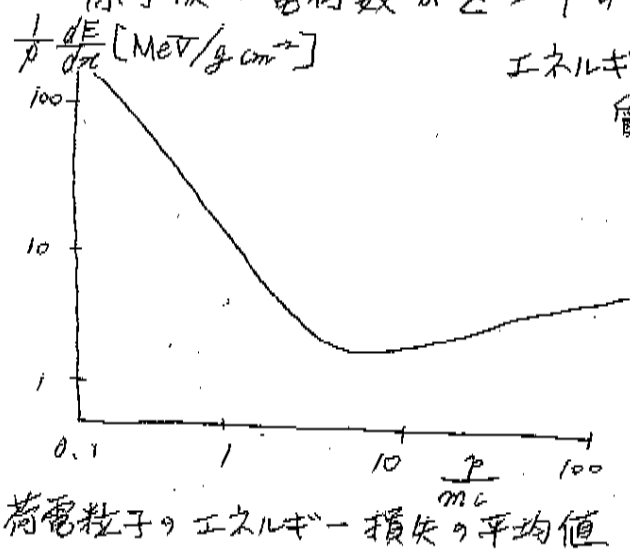
$$M \gg m_e \text{ のとき } W_{max} \approx 2m_e c^2 \gamma^2$$

② 平均励起ポテンシャル I

原子核の電荷数が $Z > 1$ の場合 ほぼ $16 \text{ eV} \cdot Z^{0.9}$

エネルギー損失は粒子の電荷と速さに依存するが、質量には依存しない

$$p/m_e c \approx 4 \text{ e Min}$$



I : 理論上は振動子強度で計算できるが、難しいので、実際は $\frac{dE}{dx}$ を測定して、経験的に

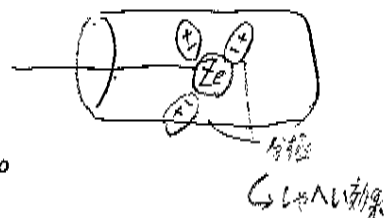
$$\left(\begin{aligned} \frac{I}{Z} &= 12 + \frac{7}{Z} \text{ eV} \quad (Z < 13) \\ \frac{I}{Z} &= 9.76 + 5A \rho Z^{-1.19} \text{ eV} \quad (Z \geq 13) \end{aligned} \right)$$

荷電粒子のエネルギー損失の平均値

$$-\frac{dE}{dx} = 2\pi N_A r_e^2 m_e c^2 \rho \frac{Z}{A} \frac{z^2}{\beta^2} \left[\ln \left(\frac{2mev^2 W_{max}}{I^2} \right) - \underbrace{2\beta^2}_{\textcircled{1}} - \underbrace{\delta - 2\frac{C}{Z}}_{\textcircled{2}} \right]$$

①: 密度効果に対する補正

入射粒子が周囲の原子を分極させ、粒子が作る正味の電場が弱まる。
 そのため、電子に与えるエネルギーは少なくなる。



★ 入射粒子のエネルギーが大きいほど、この効果は大きい。

★ 物質の密度が大きいほど、分極が起りやすいので、この効果は大きい。

δ の値は物質によて異なるが、その値は経験的に知られている。

② シェル補正

速度が遅い粒子 (束縛電子よりも遅い粒子) に対しては、それぞれ Bethe-Bloch 公式が使えない。

→ 電子が静止していると見なせなくなるため。

この効果に対する補正式も物質に依り、経験則が与えられている。

その他の補正も考えられるが、典型的には、これらの効果は重イオンの場合 1% の程度でしかない。

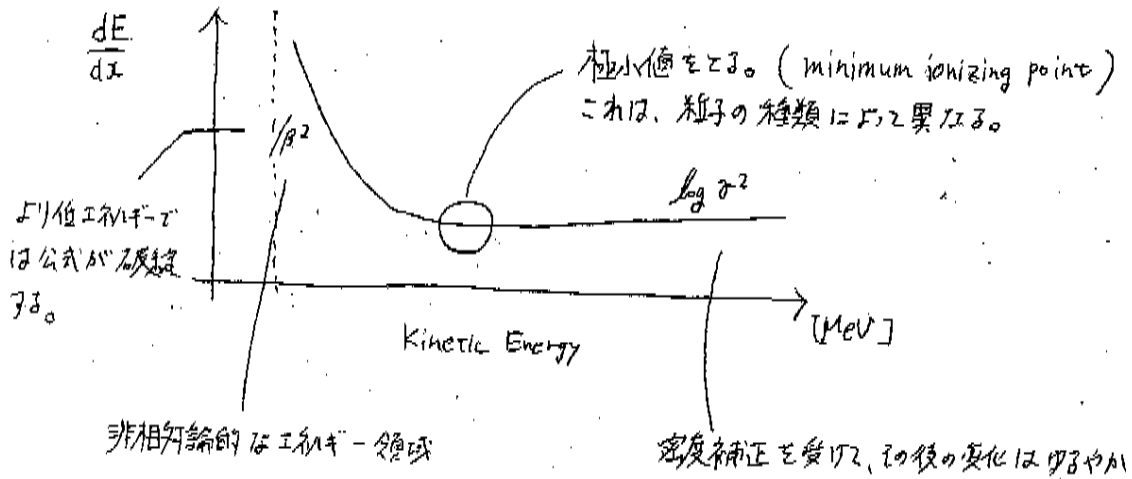
補足) 入射粒子が高速電子の場合、制動放射は無視できる。

$$\left(\frac{dE}{dx} \right)_{\text{制動}} / \left(\frac{dE}{dx} \right)_{\text{衝突}} = \frac{EZ}{700} \quad (E \text{ は MeV 単位})$$

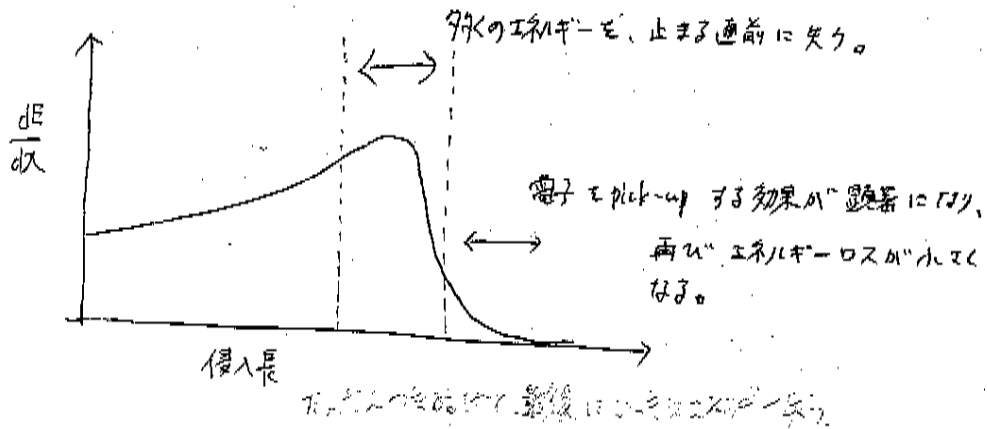
★ Bethe Bloch はそれ以外電子については適用できない

2.2.3 エネルギー-依存性

Bethe-Bloch 公式の定性的な振舞いを示す。



Bragg カーブ



この特性を利用して、医学の分野で応用がなされている。

• 2.2.4 スケーリング則

Bethe-Bloch の式を、 β の関数とみる。

$$-\frac{dE}{dx} = z^2 f(\beta)$$

運動エネルギー E と T とすると、 β は T/M の関数であるから、

$$-\frac{dE}{dx} = z^2 f'\left(\frac{T}{M}\right)$$

と書ける。従って、ある物質中における、質量 M_1 、電荷 z_1 の振舞いから、
 別の粒子 (M_2, z_2, T_2) の振舞は、簡単な変数変換を以て取
 られる。

$$-\frac{dE_2}{dx}(T=T_2) = z_2^2 f'\left(\frac{T_2}{M_2}\right) = -\frac{z_2^2}{z_1^2} \frac{dE_1}{dx} \left(T = T_2 \frac{M_1}{M_2}\right)$$

• 質量阻止能

Bethe-Bloch の式を、mass thickness z と表すと、
 (C. H. G. 0.5 4-2-2)
 基本的な 2.5 巻 5-1-2-2-1

$$-\frac{dE}{d\epsilon} = z^2 \frac{\Sigma}{A} f(\beta, I)$$

$I = I(z)$ は $\log z$ の効か 7.11
 ほぼ一定

となるので、この値は、物質の種類に依らず、ほぼ一定となる。

• 混合物や化合物 について

各原子に関する dE/dx の式に、適当な重さを付けて足し合わせれば、
 良い近似になることが知られている。(Bragg ルール)

P29 ~ P34

担当：藤林

平成 23 年 5 月 8 日

15-201
75% 25%
Ni Fe

2.2.6 化合物、混合物の場合

$\frac{1}{\rho} \frac{dE}{dx}$ 即ち重量厚さあたりのエネルギー損失で考えると、Bragg's rule により

$$\frac{1}{\rho} \frac{dE}{dx} = \sum_i w_i \frac{1}{\rho_i} \left(\frac{dE}{dx} \right)_i \quad \left(w_i = \frac{a_i A_i}{A_m} \right)$$

ここで、 a_i, A_i はそれぞれ、分子中の i 番目の元素の個数と質量数、また $A_m = \sum_i a_i A_i$ である。そうするとエネルギー損失は、Bethe-Bloch の式のパラメータを有効値

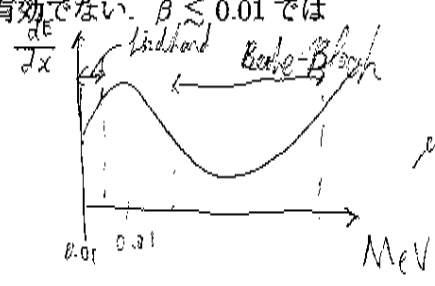
$$Z_{\text{eff}} = \sum a_i Z_i \quad A_{\text{eff}} = \sum a_i A_i \quad \ln I_{\text{eff}} = \sum \frac{a_i Z_i \ln I_i}{Z_{\text{eff}}}$$

$$\delta_{\text{eff}} = \sum \frac{a_i Z_i \delta_i}{Z_{\text{eff}}} \quad C_{\text{eff}} = \sum a_i C_i$$

2.2.7 Bethe-Bloch の式の適用範囲

$\beta \lesssim 0.1$ の素粒子から α 線までなら、Bethe-Bloch のしきは誤差数%。charge-dependent correction を加えると、 $Z \simeq 26$ まで適用可能。 $\beta \lesssim 0.05$ では、Bethe-Bloch の式は有効でなくなる。重い粒子についても、電子捕獲の影響でやはり有効でない。 $\beta \lesssim 0.01$ では Lindhard の理論で記述できる

→ 実験値参照!



2.2.8 Channeling

結晶への入射の場合、対称な面から測った入射角が臨界角

$$\phi_c = \frac{\sqrt{z Z a_0 A d}}{1670 \beta \sqrt{\gamma}}$$

より小さくなると、Channeling が起こってエネルギー損失が小さくなる。結晶に入射させるときには結晶の向きに気をつける。

2.2.9 Range

粒子が運動エネルギーを失うまで進む距離のこと。エネルギー損失は統計的な課程なので、同じエネルギーで入射した粒子でも range には統計的なゆらぎが現れる。平均を mean range という。(あるエネルギーの) 全粒子が吸収される厚み (extrapolated range) は、透過率が 0.5 で接線を引いて、zero-level との交点の厚み。

理論的には運動エネルギー T_0 で入射した粒子の mean range は

$$S(T_0) = \int_0^{T_0} dE \left(\frac{dE}{dx} \right)^{-1}$$

※ Coulomb 散乱でのジグザグな運動は考えていないので、実際の range はこれより小さい(重い粒子ではこの効果は小さい)。

実践では、Bethe-Bloch の式が有効な範囲とそうでない範囲に分離する。

$$R(T_0) = R_0(T_{\min}) + \int_{T_{\min}}^{T_0} dE \left(\frac{dE}{dx} \right)^{-1}$$

$R_0(T_0)$ は実験的、経験的に決める。

range とエネルギーの関係は log-log スケールでほぼ線形で、 $R \propto E^b$ と書ける。大雑把に考えると、それほどエネルギーが高くなければエネルギー損失は β^{-2} に比例する。また、この範囲で $T \propto \beta^2$ と書けるので、range はエネルギーの 1 乗を積分することで、 $b = 2$ を得る。※より正確な計算では $b = 1.75$ となり、それほど悪くはない。

range とエネルギーの関係は粒子のエネルギーを測る為に使える。また、検出器の大きさを決める為にも使われる。

$\frac{dE}{dx}$ のスケーリング則より、同じ物質に異なる粒子が入射したとき

$$\begin{aligned} R_2(T_2) &= \frac{z_1^2}{z_2^2} \int_0^{T_2} dE \left[\frac{dE_1}{dx} \left(T_2 \frac{M_1}{M_2} \right) \right]^{-1} \\ &= \frac{M_2 z_1^2}{M_1 z_2^2} \int_0^{T_2 \frac{M_1}{M_2}} dE \left[\frac{dE_1}{dx} (E) \right]^{-1} \\ &= \frac{M_2 z_1^2}{M_1 z_2^2} R_1 \left(T_2 \frac{M_1}{M_2} \right) \end{aligned}$$

同じ粒子が異なる物質に入射したときは Bragg-Kleeman rule

$$\frac{R_1}{R_2} = \frac{\rho_2 \sqrt{A_1}}{\rho_1 \sqrt{A_2}}$$

化合物では荒く見積もって

$$R_{\text{comp}} = \frac{A_{\text{comp}}}{\sum \frac{a_i A_i}{R_i}}$$

π の寿命 $\gamma = 10, T = 2.6 \text{ ns}, C = 3 \times 10^8$

よって、平均は $78 \text{ m} < 50$

寿命 T

$\beta \gamma c T$ - 飛距離

上の計算は正しく、
地上に届くのは半分程度

質量 $m \rightarrow E = \gamma m c^2$ (10=1)
 $\gamma = \frac{1}{\sqrt{1-\beta^2}}$
 $E^2 = p^2 c^2 + m^2 c^4$

例 2.1

宇宙線由来のパイオンが 2cm のプラスチックシンチレータに入射したときの落とすエネルギーの平均

パイオンは高エネルギーなので、全てが minimum ionizing と思える。パイオンは $\beta \sim 0.96$ で minimum ionizing で、このとき約 300MeV である。プラスチックシンチレータはこのエネルギーで $\frac{dE}{dx} \sim 1.9 \text{ MeV g}^{-1} \text{ cm}^2$ でほぼ一定なので、落とすエネルギーは

$$\Delta E = 1.9 \times 1.03 \times 2 = 3.9 \text{ MeV}$$

となる。落とすエネルギーが予想できると、ヒストグラムでどこにピークが立つか予想できる。

例 2.2

銅に入射する 600MeV の proton が、400MeV までエネルギーを失うときの銅の厚さ

$$\Delta x = - \int_{600}^{400} dE \left(\frac{dE}{dx} \right)^{-1}$$

である。E を 400MeV から 600MeV まで区切って、積分を近似的に和にする。

結果、 $\Delta x_{\text{total}} = 105.73 \text{ g} \cdot \text{cm}^{-2} = 11.88 \text{ cm}$ となる。

※実は、500MeV での値を用いて、前エネルギー幅 200MeV で掛けてもそんなに変わらない。

※実際は平均が 400MeV のガウス分布で得られるので、600MeV から 400MeV にエネルギーを減らす働きを期待するならば磁場などを使って 400MeV の粒子を選択する必要がある。

$\rho \rightarrow$
 $\propto \frac{P_n}{p_n}$
粒子にかえる??
 $T_1 = 600$
 $R_1(T_2) = \frac{4}{1} \cdot \frac{1}{4} R_1\left(\frac{1}{4} T_2\right)$
 $R_2(T_1) = R_1(150)$
24.11 (???)
20 g/cm²

$$\frac{2.0}{5.96} = 2.2 \text{ cm} < 50$$

担当: 土居

① 可視光

2.3 χ -レンコフ放射

$$\lambda = 400 \sim 700 \text{ nm}$$

χ -レンコフ放射は、物質中の荷電粒子が同じ物質中の光速を超えて運動した時に起こる。
物質中の光速 v は

$$v = \beta_0 c = \frac{c}{n} \quad (2.55)$$

($\beta_0 = \frac{v}{c}$, n : 屈折率, c : 真空中での光速)

v_{particle} を物質中の荷電粒子の速さとすると、

$$v_{\text{particle}} > \frac{c}{n} \quad (2.56)$$

を満たしたとき、 χ -レンコフ放射が起こる。

χ -レンコフ光の波面は図2.9のようになる。粒子の軌道に対して角度 θ_c で放射される。

$$\cos \theta_c = \frac{1}{n(\omega)} \quad (2.57)$$

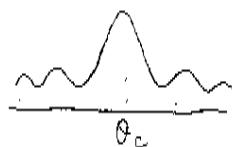
屈折率が ω に依存する $n(\omega)$ は $\theta_c = \theta_c(v, \omega)$ に注意。

$n = \pm 2$ は、無限に続く物質中を通過する時は正しい。

しかし、実際は粒子は有限の厚さの物質を通過する。この場合の χ -レンコフ放射の振動数依存性と角度分布を計算するのは古典的電磁気学を用いる。(2.17のChap. 14) ← 難しいけれど。

厚さ L の平板を一樣に直進している電荷 Ze の粒子の角振動数当たり、立体角当たりの放射されるエネルギーは

$$\frac{d^2 E}{d\omega d\Omega} = Z^2 \frac{\omega^2}{c} n^2 \sin^2 \theta \left| \frac{\omega L}{2\pi \beta_0 c} \frac{\sin \xi(\theta)}{\xi(\theta)} \right|^2 \quad (2.58)$$



ω : 微細構造定数, n : 屈折率

$$\xi(\theta) = \frac{\omega L}{2\pi \beta_0 c} (1 - n \cos \theta) \quad (2.59)$$

$$\left(\cos \theta_c = \frac{1}{n} \right)$$

$\frac{\sin \xi}{\xi}$ はフラウンホーファー回折を表すものとして理解できる。

χ -レンコフ放射の角分布は、フラウンホーファー回折に似ており、 $\cos \theta = \frac{1}{n}$ の角度 θ を中心にした大きなピークがある。しかし放射光の波長よりも十分大きいとき、 $\frac{\sin \xi}{\xi}$ の項は $(1 - n \cos \theta)$ となる。

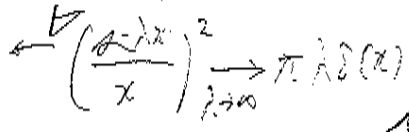
この事は式(2.57)と矛盾しない。 χ -レンコフ放射の起こる条件式(2.56)は、 θ_c が物理的に意味をもつような条件であると理解できる。

こうして、結局上の簡単な χ -レンコフ放射の描像を取り戻す事ができる。

しかし、 L が小さいとき、ピークの幅が広がる。

式(2.58) を立体角積分して、(Lは $\pi = \frac{2\pi}{\omega}$ 円周長に注意)

$$-\frac{dE}{dw} = z^2 \frac{\alpha k}{c} \omega L \sin^2 \theta_c \quad \dots (2.60)$$



△ 使う

両辺を ω で割って $L \rightarrow dx$ とし dw を積分すると、

$$-\frac{dE}{dx} = z^2 \frac{\alpha k}{c} \int dw \omega \sin^2 \theta_c = z^2 \frac{\alpha k}{c} \int dw \omega \left(1 - \frac{1}{\beta^2 n^2(\omega)}\right) \quad \dots (2.61)$$

積分区間は $\beta > \frac{1}{n(\omega)}$ が成立する ω .

式(2.61)より、 β が大きいとエネルギー損失は大きくなる (積分区間が増えるから)

しかし、相対論的エネルギーに留意すれば、この損失は衝突による損失より小さい。

実際、凝集体材料に放射するエネルギーは $10^{-3} \text{ MeV cm}^{-2} \text{ g}^{-1}$ のオーダーでしかない。
(⑧倍)

これは衝突によるエネルギー損失に比べて無視できる。

He や He のようなガスに於ては、むしろ $0.01 \sim 0.2 \text{ MeV cm}^{-2} \text{ g}^{-1}$ であるが、まだ小さい。

正確な $\frac{dE}{dx}$ の計算式を導く時は、フェレンコフ放射のエネルギー損失を考慮に入れなければならない。

実際、Bethe-Bloch の式(2.27)にすでに含まれている。

○ 利用

フェレンコフ放射による重要な事柄は、フェレンコフ放射が測定に利用されていることである。(フェレンコフ放射計)

フェレンコフ放射計において、粒子の速度を(最も)正確に測定できるエネルギー物理実験で広く使われる。

検出器の設計のために、放射した光子の数が知りたい。

(2.60) の両辺を $\omega \times L$ で割って、 $\frac{E}{\hbar \omega} = N$ (光子の数), $L \rightarrow dx$ とすると、

$$-\frac{d^2 N}{d\omega dx} = \frac{z^2 \alpha}{c} \sin^2 \theta_c = \frac{z^2 \alpha}{c} \left(1 - \frac{1}{\beta^2 n^2}\right) \quad \dots (2.62)$$

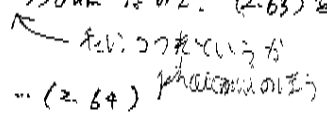
$d\omega$ を $d\lambda$ に変えて、

$$\frac{d^2 N}{d\lambda dx} = \frac{2\pi z^2 \alpha}{\lambda^2} \left(1 - \frac{1}{\beta^2 n^2}\right) \quad \dots (2.63)$$

ほとんどのフェレンコフ検出器では、フェレンコフ光の光子を電気信号に変えて検出する。(Chap. 8)

検出される波長は典型的なもの、 $350 \text{ nm} \sim 550 \text{ nm}$ 程度の。 (2.63) を λ で積分して、

$$\frac{dN}{dx} = 475 z^2 \sin^2 \theta_c \text{ photons/cm} \quad \dots (2.64)$$



見てわかるように、これは大きい。

フェレンコフ放射の話はここまでに、

2.4 電子(e⁻)と陽電子(e⁺)のエネルギー損失

重い荷電粒子と同様に、e⁻もe⁺も物質中を通る時に衝突によるエネルギー損失をみる。

しかし、e⁻とe⁺は質量が小さいので、原子核の作る電場の影響で電磁波を放射する効果も考慮に入れる。
古典的には、電子が原子核に引き付けられ、電子の軌道が歪む向きに (制動放射)

加速度が生じると電磁波を放射すると理解できる。
e⁻とe⁺のエネルギー損失は2つの部分に分けられる。

$$\left(\frac{dE}{dx}\right)_{tot} = \left(\frac{dE}{dx}\right)_{rad} + \left(\frac{dE}{dx}\right)_{coll} \quad (2.65)$$

2.4.1 衝突によるエネルギー損失

e⁻とe⁺に対し、2つの理由から Bethe-Bloch の式を修正しなければならない。

- 1) 質量が小さいので、「入射粒子の軌道は直線からずれない」という仮定が成立しなくなる。
- 2) 電子同士の間には同種粒子の散乱があるので、粒子の区別がとれない事を考慮に入れる。

これらの考慮により、公式の項の数が変わり、特にエネルギー損失の最大値 W_{max} は W<sub>max} = \frac{T_0}{2} となる。
(T₀: 入射e⁻, e⁺の運動エネルギー)</sub>

結局、修正された Bethe-Bloch の式は、

$$-\frac{dE}{dx} = 2\pi N_A r_e^2 m_e c^2 \rho \frac{Z}{A} \frac{1}{\beta^2} \left[\ln \frac{T^2(T+2)}{2(I/m_e c^2)^2} + F(T) - \delta - 2\frac{C}{Z} \right] \quad (2.66)$$

T = m_e c^2 を単位とした運動エネルギー (T = \frac{T_0}{m_e c^2})

$$\left\{ \begin{array}{l} F(T) = 1 - \beta^2 + \frac{\frac{T^2}{2} - (2T+1)\ln 2}{(T+1)^2} \quad \text{for } e^- \\ F(T) = 2\ln 2 - \frac{\beta^2}{12} \left(23 + \frac{14}{T+2} + \frac{10}{(T+2)^2} + \frac{4}{(T+2)^3} \right) \quad \text{for } e^+ \end{array} \right.$$

2.4.2 放射によるエネルギー損失: 制動放射

数百 GeV 以下で、エネルギー損失のほとんどが放射によるエネルギー損失となる事があるのは e⁻とe⁺しかない。
これは(後に示す)制動放射の断面積を思えばすぐわかる。

放射の確率は、粒子の質量の2乗で変化する。つまり、σ ∝ r_e^2 = (\frac{e^2}{m_e c^2})^2 } because
電子の次に軽いμ粒子 (m_μ = 106 MeV) のエネルギー損失は、電子の25000倍も小さい。

制動放射は電子が受ける電場の強さによるので、原子核のまわりの電子による原子核の作る電場の遮蔽量が重要となる。
その遮蔽の効果は、

$$\xi = \frac{100 m_e c^2 h\nu}{E_0 E Z^{1/2}} : \text{無次元} \quad (2.67)$$

ここで E₀ = e⁻(e⁺)の最初の全エネルギー、E = 最終的な全エネルギー、hν = 放射される光子のエネルギー (hν = E - E₀)
パラメータξは、トーマスフェルミ原子の半径に関係している。

小さい(ξ ≪ 1)ときは、完全に遮蔽される。
大きい(ξ ≫ 1)ときは、全く遮蔽されない。 } 事象を表す。

数 MeV よりも大きい相対論的エネルギーでは、斜射放射の断面積は [2.12] に与えられている。

$$d\sigma = 4Z^2 r_0^2 \alpha \frac{d\nu}{\nu} \left\{ (1+\epsilon^2) \left[\frac{\phi_1(z)}{4} - \frac{1}{3} \ln z - f(z) \right] - \frac{2}{3} \epsilon \left[\frac{\phi_2(z)}{4} - \frac{1}{3} \ln z - f(z) \right] \right\} \dots (2.68)$$

ここで、 $\epsilon = \frac{E}{E_0}$, $\alpha = \frac{1}{137}$, $f(z) = \gamma$ - γ 補正, $\phi_1(z), \phi_2(z)$: z に依存する遮蔽関数

= の公式はボルン近似より計算された。低エネルギーでは正しくないので

$z \geq 5$ の程小さい元素に γ は、 ϕ_1 と ϕ_2 が通常トーマスフェルミモデルで数値的に計算され、0.5% の精度で与えられる。

$$\left. \begin{aligned} \phi_1(z) &= 20.863 - 2 \ln [1 + (0.55846z)^2] - 4 [1 - 0.6 e^{-2z} - 0.4 e^{-1.5z}] \\ \phi_2(z) &= \phi_1(z) - \frac{2}{3} (1 + 6.5z + 6z^2)^{-1} \\ \gamma \rightarrow 0 &\text{ 時 } \phi_1(0) = \phi_2(0) + \frac{2}{3} = 4 \ln 183 \\ \gamma \rightarrow \infty &\text{ 時 } \phi_1(\infty) = \phi_2(\infty) \rightarrow 19.19 - 4 \ln 3 \end{aligned} \right\} (2.69)$$

関数 $f(z)$ は Born 近似の小さな補正で、原子核の電場の中の電子の γ - γ 相互作用を説明する。公式 (2.68) は [2.14] より。

$$f(z) \approx a^2 [(1+a^2)^{-1} + 0.20206 - 0.0369a^2 + 0.0083a^4 - 0.002a^6] \dots (2.70)$$

$$(a = \frac{z}{137})$$

以上より、全く遮蔽されないので $\gamma \gg 1$

$$d\sigma = 4Z^2 r_0^2 \alpha \frac{d\nu}{\nu} \left(1 + \epsilon^2 - \frac{2\epsilon}{3} \right) \left[\ln \frac{2E_0 \nu}{m_0 c^2 h \nu} - \frac{1}{2} - f(z) \right] \dots (2.71)$$

完全に遮蔽されないので $\gamma \approx 0$

$$d\sigma = 4Z^2 r_0^2 \alpha \frac{d\nu}{\nu} \left\{ \left(1 + \epsilon^2 - \frac{2\epsilon}{3} \right) \left[\ln (183 z^{-1}) - f(z) \right] + \frac{\epsilon}{3} \right\} \dots (2.72)$$

放射によるエネルギー損失を計算するために (断面積) \times (光子のエネルギー) を許すための範囲で積分して。

$$-\left(\frac{dE}{dz} \right)_{rad} = N \int_0^{\nu_0} h\nu \frac{d\sigma}{d\nu}(E_0, \nu) d\nu \dots (2.73)$$

$$N = \frac{\rho N_A}{A} : \text{10 法密度 } [10/\text{cm}^2], \quad \nu_0 = \frac{E_0}{h}$$

(2.73) をかきかえして

$$-\left(\frac{dE}{dz} \right)_{rad} = N E_0 \bar{\Sigma}_{rad}, \quad \bar{\Sigma}_{rad} = \frac{1}{E_0} \int_0^{\nu_0} h\nu \frac{d\sigma}{d\nu}(E_0, \nu) d\nu \dots (2.74)$$

$\frac{d\sigma}{d\nu} \propto \nu^{-1}$ 形の ν で、 $\bar{\Sigma}_{rad}$ は z に依存せず、物質の Z^2 のみに依存する。

$m_e c^2 \ll E_0 \ll 137 m_e c^2 Z^{-1/2}$, $\gamma \gg 1$ のとき (遮蔽は考慮しない)

$$\bar{E}_{rad} = 4 Z^2 r_e^2 \alpha \left(\ln \frac{2 E_0}{m_e c^2} - \frac{1}{3} - f(\gamma) \right) \dots (2.75)$$

$E_0 \gg 137 m_e c^2 Z^{-1/2}$, $\gamma = 0$ のとき (完全に遮蔽は考慮しない)

$$\bar{E}_{rad} = 4 Z^2 r_e^2 \alpha \left[\ln(183 Z^{-1/2}) + \frac{1}{18} - f(\gamma) \right] \dots (2.76)$$

どちらでもないときの任意に対しては、(2.75)式を数値計算により積分を実行する。

図 2.10 は衝突によるエネルギー損失と放射によるエネルギー損失の比較が行われている。

衝突によるエネルギー損失は、エネルギーに対して対数間数的に、Zに対して一次間数的に変化し、放射によるエネルギー損失は、エネルギーに対して一次間数的に、Zに対して二次間数的に変化している。後者の急激な上昇は図 2.10 よりよくわかる。

また、衝突エネルギーは連続的に変化するが、ほぼ全ての放射エネルギーは170keVの電子の放出によるものである。よって、単一エネルギー電子を用いて実験しても、大きな変動が観測される。

2.4.3 e^-e^- 制動放射

上の公式では、原子核の電場による放射に対する平均エネルギー損失を表しているが、

$$\begin{matrix} \text{核}-e^- & Z^2 \\ e^-e^- & Z \end{matrix}$$

原子の電子による制動放射の寄与もある。

これは多くの人に知られていて、上の公式のZをZ+1と置きかえれば e^-e^- 制動放射の断面積が得られる。

2.4.4 臨界エネルギー

放射によるエネルギー損失は吸収する物質に強く依存している事を見ました。

それぞれの物質に対して、臨界エネルギー E_c を、

$E = E_c$ で放射によるエネルギー損失と衝突によるエネルギー損失が等しくなるようなエネルギーと定義します。

つまり、

$$\left(\frac{dE}{dx} \right)_{rad} = \left(\frac{dE}{dx} \right)_{coll} \quad \text{for } E = E_c \dots (2.77)$$

$E > E_c$ で放射によるエネルギー損失が支配的、 $E < E_c$ で衝突によるエネルギー損失が支配的になる。

E_c の近似式が [2.15] で与えられている。

$$E_c = \frac{800 \text{ MeV}}{Z + 1.2} \dots (2.78)$$

表 2.2 に様々な物質の E_c が示されている。

2.4.5 Radiation length ~ 2.5 Multiple Coulomb scattering

中塚徳継

16 May 2011

1 2.4.5. Radiation length 放射長

(2.74) 式から、制動放射によるエネルギー損失に関する微分方程式、

$$-\frac{dE}{E} = N\Phi_{\text{rad}}dx \dots (2.79)$$

(ただし、 $N = \text{原子数/cm}^3 = \rho N_A/A$) が得られる。衝突によるエネルギーロスが制動放射によるエネルギーロスよりも小さく、無視できるとしよう。

(Φ_{rad} が E に依存しない) すると (2.79) は簡単に解けて、

$$E = E_0 \exp\left(\frac{-x}{L_{\text{rad}}}\right) \dots (2.80)$$

ただし、 $L_{\text{rad}} = \frac{1}{N\Phi_{\text{rad}}}$ で、 L_{rad} を Radiation length という。(2.76) 式を使って Φ_{rad} を書き直すと、

$$\frac{1}{L_{\text{rad}}} \approx \left(4Z(Z+1)\frac{\rho N_A}{A}\right) r_e^2 \alpha (\ln(183Z^{-1/3}) - f(Z)) \dots (2.81)$$

この式は般電子-ビーム電子間の制動放射を含み、小さな定数項は無視している。radiation length の具体的な値 → Table(2.3)

手っ取り早く計算できる使いやすい近似式は以下で与えられる。

$$L_{\text{rad}} = \frac{716.4 \text{g/cm}^2 A}{Z(Z+1)\ln(287/\sqrt{Z})} \dots (2.82)$$

この式はヘリウム以外は誤差 2.5% 以内の精度がある。

radiation length を単位として物質の厚さを測ると便利である。(2.74) 式は、以下のように書き換えられる。

$$-\frac{dE}{dt} \approx E_0 \dots (2.83)$$

(ただし、 t は radiation length を単位とした長さ)

化合物や混合物質に関しては、以下の式が成立する。

$$\frac{1}{L_{\text{rad}}} = w_1 \left(\frac{1}{L_{\text{rad}}}\right)_1 + w_2 \left(\frac{1}{L_{\text{rad}}}\right)_2 + \dots \dots (2.84)$$

(ただし、 $w_1 \dots$ は (2.39) で定義される量)

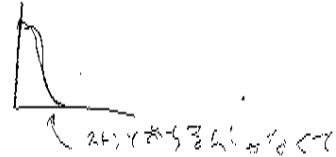


2. 2.4.6. Range of Electrons

電子は原子核による Multiple 散乱を受けやすいため、電子のレンジは dE/dx を積分して求めた値とは大きく異なる。(20-400%)

さらに、重い元素になると、電子によるエネルギーロスが大きく変動する。(より大きなエネルギー移行が可能のため) いずれにせよ、ごく少数回の衝突でビーム電子がほぼエネルギーを失うことがありうるため、range straggling が大きくなる。

number-distance curves → Fig(2.11.) range-energy curves → Fig(2.12.)



3. 2.4.7. The Absorption of β Electrons

β 崩壊による電子は連続的なエネルギースペクトルをもつため、 β 線の吸収は指数関数でよく近似できる。
Fig(2.13.)

$$I = I_0 \exp(-\mu x)$$

この μ は β 線吸収係数と呼ばれ、 β 線のエンドポイントエネルギーと直接関係する。そのため、 β 線のエンドポイントエネルギーを測ったり、薄い膜の厚さを測るのに使われた。ただし、指数関数でよく近似できるのは単純な許容遷移の場合のみで、複雑な禁止遷移のときにはずれてしまう。

4. 2.5. Multiple Coulomb scattering

荷電粒子が物質を通過すると、散電子と非弾性散乱するだけでなく、確率は下がるものの繰り返し弾性 Coulomb 散乱を起こす。スピン効果とスクリーニングを無視した 1 つ 1 つの散乱過程は Rutherford 散乱の式で与えられる。

$$\frac{d\sigma}{d\Omega} = z_2^2 z_1^2 r_e^2 \frac{(m_e c / \beta p)^2}{4 \sin^4(\theta/2)} \dots (2.86)$$

散乱は $1/\sin^4(\theta/2)$ に依存するため、大多数のビーム粒子はごく小さな角度に散乱される。従って、ビーム粒子は物質中のランダムなジグザグ経路を通過する。しかし、小さな角度の散乱が積み重なって、正味の散乱が起こる。物質中の Coulomb 散乱の取り扱いには 3 つの場合に分かれる。

- 1) Single 散乱; ターゲットが十分薄く、複数 Coulomb 散乱の確率が無視できるとき。→ (2.86) で OK
- 2) Plural 散乱; 平均散乱回数が 20 回以下の場合。扱いが難しく、この本では取り扱わない。
- 3) Multiple 散乱; 平均散乱回数が 20 回以上の場合。統計的に扱え、しかも最もよくあるケースである。以下ではこの場合を扱う。

一般に、Multiple 散乱の厳密な計算は恐ろしく複雑で、洗練度に応じていくつかのレベルの方法と式が存在する。その中でも最も良く使われるのが、Moliere と、Snyder, Scott のそれぞれによる (2 つの) 小角度近似である。この 2 つの方法は本質的に等価で、あらゆる粒子で散乱角 30° まで一般に有効であることが実証されている。ただし、遅い電子と重元素中の電子では有効ではない。

Moliere は角度分布を級数で以下のように与えた。

$$P(\theta) d\Omega = \eta d\eta \left(2 \exp(-\eta^2) + \frac{F_1(\eta)}{B} + \frac{F_2(\eta)}{B^2} + \dots \right) \dots (2.87)$$

(ただし、 $\eta = \theta / (\theta_1 \sqrt{B})$ 、 $\theta_1 = 0.3965(zQ/p\beta) \sqrt{(\rho\delta x/A)}$)

(B は $g(B) = \ln B - B + \ln \gamma - 0.154$ のゼロ点、 $\gamma = 8.831 \times 10^3 \frac{qz^2 \rho \delta x}{\beta^2 A \Delta}$ 、 $\Delta = 1.13 + 3.76 \left(\frac{Zz}{137\beta} \right)^2$)

($F_k(\eta) = \frac{1}{k!} \int J_0(\eta y) \exp\left(-\frac{y^2}{4}\right) \left(\frac{y^2}{4} \ln\left(\frac{y^2}{4}\right)\right) y dy$ 、 J_0 は Bessel 関数)

(各記号は、 Z :陽子数、 A :質量数、 δx :ターゲット厚さ [cm]、 ρ :ターゲット密度 [g/cm³]、 p :ビーム粒子の運動量 [MeV/c]、 z :粒子の電荷 [素電荷])

($Q = \sqrt{Z(Z+1)}$ for 電子陽電子、 $= Z$ for 他の粒子)

($q = (Z+1)Z^{1/3}$ for 電子陽電子、 $= Z^{4/3}$ for 他の粒子)

ほとんどの場合は (2.87) 式にある 3 項で十分である。

2.5.1 Multiple Scattering のガウス近似

大きな角度の散乱が起る確率は低いので、これを無視すれば、小さな角への1粒子による散乱の考え方を、多粒子の場合に通用できる。すなわち、ガウス分布で近似できる。

$$P(\theta) \approx \frac{2\theta}{\langle \theta^2 \rangle} \exp\left(\frac{-\theta^2}{\langle \theta^2 \rangle}\right) d\theta$$

$$\langle \theta^2 \rangle = \int_0^\infty \theta^2 P(\theta) d\Omega$$

$$\sqrt{\langle \theta^2 \rangle} : \text{rms scattering angle}$$

↳ root-mean-square : 二乗平均の平方根

テキスト(2.87)式 と比較して、

$$\sqrt{\langle \theta^2 \rangle} \approx \theta \sqrt{B} \quad \left(\text{ただ、Moliere の分布は、}\theta \text{の大きな範囲まで広がっており、式の値をそのまま考慮に入ると、}\sqrt{\langle \theta^2 \rangle} \text{は無意味となる。} \right)$$

であるが、実際の測定に基づいた式は以下の通り、

$$\langle \theta^2 \rangle = 2 \frac{\chi_c^2}{1+F^2} \left[\frac{1+v}{v} \ln(1+v) - 1 \right] \text{ (rad}^2\text{)}$$

$$v = 0.5 \frac{\Omega}{1-F}, \quad \Omega = \chi_c^2 / \chi_a^2$$

$$\chi_c^2 = 0.157 Z \left(\frac{Z(Z+1)}{A} \right) \frac{x}{\beta^2 \beta^2}, \quad \chi_a^2 = 2.007 \times 10^{-5} Z^{3/2} [1 + 3.34 (Z Z \kappa / \beta)^2] / \beta^2$$

β : 速度 [MeV/c], x : path length [g/cm²], Z : 入射粒子の電荷

Z, A : 散乱物の原子番号、質量数, α : 微細構造定数 $\approx 1/137$

F : Moliere distribution を考慮した値 ($F < 1$)

Ω は散乱する粒子の平均の数と解釈される。

F が 90% ~ 99.5%, $10 < \Omega < 10^3$ ならば、この式は誤差 2% 以内で実験値と一致する。

テキストの図 2.15 において、実際に $\langle \theta^2 \rangle$ を求めると、
 (図 2.15 は、薄い金箔で 15.7 MeV の電子を散乱させたときの実験結果)

$$\langle \theta^2 \rangle = \begin{cases} 0.0023 \text{ rad}^2 & x = 18.66 \text{ mg/cm}^2 \\ 0.0051 \text{ rad}^2 & x = 37.28 \text{ mg/cm}^2 \end{cases}$$

標準偏差 $\sigma = \sqrt{\langle \theta^2 \rangle / 2}$ より、 $\sigma = \begin{cases} 1.94^\circ \\ 2.87^\circ \end{cases}$

テキスト図 2.14 のように、粒子の入射方向の直線を含む平面を考え、

散乱角 θ をその平面上に投影した角を θ_x とする。

θ_x を θ のかわりに用いると便利になる。

先ほどのガウス分布の式を θ_x で書き直すと、

$$P(\theta_x) d\theta_x = (2\pi \langle \theta_x^2 \rangle)^{-1/2} \exp\left(\frac{-\theta_x^2}{2\langle \theta_x^2 \rangle}\right) d\theta_x$$

となる。ここで、 $\langle \theta_x^2 \rangle = \langle \theta^2 \rangle / 2$ である。

粒子の側方変位 r は非常に小さいが、 r を用いて P をあらわすと、

$$P(r) dr = 6r (\langle \theta^2 \rangle t^2)^{-1} \exp\left(\frac{-3r^2}{\langle \theta^2 \rangle t^2}\right) dr$$

r : 変位, $t = x/L_{\text{rad}}$: thickness in radiation length
 (L_{rad} はたまたまでてきただけであり、式を簡易にするために用いているだけで、
 何粒子の散乱とは関係がない)

$$\langle r^2 \rangle = \langle \theta^2 \rangle t^2 / 3$$

となる。

2.5.2 低エネルギー電子の後方散乱

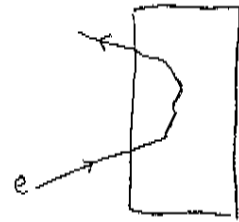
電子は質量が小さいため、散乱角が大きくなりやすい。

そのため、99%の粒子によって散乱されると、粒子が入射した側よりも反対側から出てしまうことがある。(テキスト図2.16参照) ← 後方散乱

この傾向は、電子のエネルギーが低いほど大きく、散乱を起こす物質の原子番号が増えるにつれ大きくなる。

入射粒子の数に対する後方散乱粒子の数の比を、後方散乱係数、またはアルベド(反射能)とよぶ。

電子が物質に対し斜めに入射した時ほど、後方散乱の割合は大きくなり、また後方散乱係数は入射粒子のエネルギーに依存する。



テキスト図2.17に、様々な物質における後方散乱係数のグラフが示されている。

2.6 エネルギー損失の分布

これまで物質中を通過する荷電粒子の平均のエネルギー減少量をみてきたが、実際のエネルギー損失量は統計的な幅があり、分布関数として考えてやる必要がある。

実際は、ある一定の厚さの物質のもとのエネルギー損失の変動を見るかわりに、

ある一定のエネルギー損失のもとの、通過距離を観測する。(視点を変えただけで、考えていることは同じ) 散乱体の厚さによって場合分けして考える。

2.6.1 散乱体が厚い場合

$$\begin{pmatrix} \sigma & \sqrt{\beta} \\ \sqrt{\beta} & \sigma \end{pmatrix} \text{0-1変換}$$

散乱回数 N が $N \rightarrow \infty$ としてよいほど大きいとき、中心極限定理より、エネルギー損失の分布は、ガウス分布に従う。

$$f(x, \Delta) \propto \exp\left(-\frac{(\Delta - \bar{\Delta})^2}{2\sigma^2}\right)$$

x : 散乱体の厚さ

Δ : エネルギー損失, $\bar{\Delta}$: エネルギー損失の平均

σ : 標準偏差

$$\sigma_{rms} = \frac{13.6 \text{ MeV}}{\beta c^2} \sqrt{\frac{x}{X_0} \left[1 + 2.0 \frac{x}{X_0}\right]}$$

(全体的に)

\downarrow L_{rad}

$10^{-3} < \frac{x}{X_0} < 100$

非相対論的なふるまいをする場合の σ を σ_0 とすると

$$\sigma_0^2 = 4\pi N_a r_e^2 (m_e c^2)^2 \rho \frac{Z}{A} x = 0.1569 \rho \frac{Z}{A} x \quad [\text{MeV}^2]$$

$(N_a: \text{アボガドロ数}, r_e, m_e: \text{電子の古典的な半径と質量})$
 $(\rho, Z, A: \text{散乱体の密度, 原子番号, 質量数})$

相対論的な場合

$$\sigma^2 = \frac{(1 - \frac{1}{2}\beta^2)}{1 - \beta^2} \sigma_0^2$$

2.6.2 散乱体が非常に厚い場合

上記の議論は、入射時の電子のエネルギーに比べてエネルギー損失が小さく、電子の速度変化が無視できるときに成り立つものである。

散乱体が非常に厚く、入射したときの電子の運動エネルギーが散乱体の内径でほとんど失われてしまう時、2.6.1の議論は成立しない。

→ 詳細は Tschalen や Bickel の論文にて。

2.6.3 散乱体が薄い場合

2.6.1の場合と異なり、 N が小さいため中心極限定理が使えない。

1度の散乱して大きなエネルギーを失うものや、制度放射により、

エネルギー損失はかなり大きな値域まで広がる。→テキスト図2.18

そのためグラフは左右対称でなくなり、最頻値と平均値にずれが生じる。

このような状況でのエネルギー損失の分布について、

Landau, Symon, Vavilov により計算がなされた。

ただし、それぞれの式の適用範囲は異なる。→ $k = \bar{\Delta} / W_{max}$ の値により区別。
(W_{max} についてはテキスト(2.28)を参照)

$\bar{\Delta}$ について, Beshe-Block の式を用いるのが便利。

おおよその値として第1項だけをとり、さらに対数の中身は無視して構わない。

$$\therefore \bar{\Delta} \approx \xi = 2\pi N_a r_e^2 m_e c^2 \rho \frac{Z}{A} \left(\frac{z}{\beta}\right)^2 x$$

散乱体が薄いと言われるのは $k < 10$ の範囲だが、

おおよそ $k > 1$ の領域で既に分布はガウシアン形をとるようになる。→テキスト図2.19

Landau の理論

$k \leq 0.01$ の非常に薄い場合に適用される。

1) $W_{max} \rightarrow \infty$, → 残り $k \rightarrow 0$ と考える。

2) それぞれの電子のエネルギー損失量は十分大きい、小さなエネルギーの移行は無視。

3) 入射粒子は減速しない。

以上の仮定を導入。

$$f(x, A) = \phi(\lambda) / \xi$$

$$\phi(\lambda) = \frac{1}{\pi} \int_0^{\infty} \exp(-u \ln u - u \lambda) du = \pi u du$$

$$\lambda = \frac{1}{\xi} \left\{ A - \xi (\ln \xi - \ln \varepsilon + 1 - C) \right\}, \quad C \text{ はオイラ-定数 } (= 0.577 \dots)$$

$$\ln \varepsilon = \ln \frac{(1-\beta^2) I^2}{2mc^2 \beta^2} + \beta^2$$

$$\left[\begin{array}{l} A_n = \sum_{k=1}^n \frac{1}{k} \text{ とおき, } \lim_{n \rightarrow \infty} (A_n - \log n) = C \\ \text{なる定数.} \end{array} \right.$$

ε は、仮定2のきとで許される最小のエネルギー-物質量
 $\phi(x)$ は万能評価関数.

このときの $f(x, A)$ 分布における、 A の最頻値 A_{mp} は、

$$A_{mp} = \frac{\varepsilon}{k} [\ln(\frac{\varepsilon}{k}) + 0.198 - \delta] \quad \delta \text{ は密度補正.}$$

• Symon と Varilor の理論: 中程度の値の K の領域について

上で述べたように、Landau は上で説明された K の領域と、カクシアンによる
フーリエ変換が適用される K の領域の間の、2つの理論の境界部分となる
中程度の大きさの K の領域について、

• Landau と Symon は、多くの巧妙な近似を作ることに成功したが、
図としてしか表現することができない。

• Varilor は Landau の式において、エネルギー-物理の許される最大値に補正を
加えることで、分布を表現した。

テキスト図 2.19 は、Varilor の式による計算結果である。

Varilor は、

$$\sigma^2 = \frac{\varepsilon^2}{k} \frac{1 - \beta^2}{2}$$

という変数を与えた。これは、テキスト (2.95) 式で重い粒子の場合に相当する。
それぞれの変数の比較が、テキスト図 2.20 にてなされている。

Landau と Varilor の分布の補正

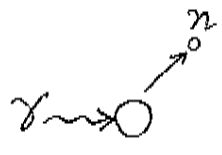
上記の式は、さまざまな人の手により補正が計算されている。(原子殻電子の影響など)

2.7 光子の相互作用

物質中の光子(X線, γ線)のふるまいは荷電粒子とは全く異なる。← 光子には電荷がなく原子内電子とのほとんどの非弾性散乱が起きない

X線, γ線の主要な相互作用

- ① 光電効果
- ② コンプトン散乱
- ③ 電子・陽電子の対生成



核の解離反応も起こるが、少ないので無視
X線, γ線の2つの特徴を説明

- 1) X線, γ線は荷電粒子の何倍も透過力がある
... 電子の非弾性散乱の断面積より ①~③の断面積が小さいから
- 2) 光子のビームエネルギーは減衰しない
減るは Intensity (単位面積当り強度) のみ
... ①~③の過程でビーム中の光子が取り除かれる or 吸収 or 散乱
真。すぐつき抜けた光子は相互作用しない

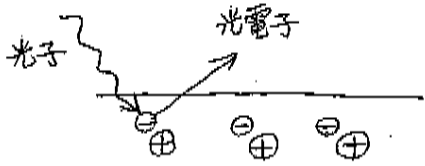
→ 最初エネルギーを維持するが、光子の総数は減る

$$I(x) = I_0 \exp(-\mu x) \quad (2.101)$$

- I_0 : 入射ビームの Intensity
- x : 吸収物質の厚さ
- μ : 吸収係数 ... 吸収物質に依存, 全相互作用の断面積に直接関係
γ線検出器の議論でよく出る

2.7.1 光電効果

~ 光子の全エネルギーを電子が吸収して光電子が飛び出す



飛び出す電子のエネルギー $E = h\nu - B.E.$ (束縛エネルギー - binding energy) (2.102)

自由電子は光子の吸収をせず、運動量が保存

→ 光電効果は反跳運動量を受け取る原子核がある、束縛電子とのみ起こる。

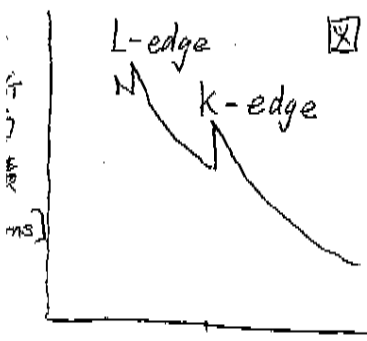


図 2.21 典型的な光電効果の断面積

- K殻の束縛エネルギーより大 → 断面積小
- K殻の " 近くで急増
- K殻の " より小 ↓
K電子が飛び出せなくなるととんと落ちる

原子内電子の Dirac の波動関数が複雑なため、
光電効果を理論的に厳密に計算するのは難しい。

しかし、光子のエネルギーが K 殻の B. E. より大きいとき、
ほとんどの場合 K 殻電子の寄与
非相対論的 ($h\nu \ll mc^2$) } → ボルン近似で計算可

$$\sigma_{\text{photo}} = 4\alpha^2 \sqrt{2} Z^5 \phi_0 (mc^2/h\nu)^{7/2} \quad [\text{cm}^2/\text{atom}] \quad (2.103)$$

$$\phi_0 = \frac{8\pi r_e^2}{3} = 6.651 \times 10^{-25} \text{ cm}^2, \quad \alpha = \frac{1}{137}$$

K-edge 付近では (2.103) →

$$\sigma_{\text{photo}} = \phi_0 \frac{2^7 \pi (137)^3}{Z^2} \left[\frac{\nu_K}{\nu} \right]^4 \frac{\exp(-4\zeta \cot^{-1} \zeta)}{1 - \exp(-2\pi\zeta)} \quad [\text{cm}^2/\text{atom}] \quad (2.104)$$

$$h\nu_K = (Z - 0.03)^2 mc^2 \alpha^2 / 2$$

$$\zeta = \sqrt{\frac{\nu_K}{\nu - \nu_K}} \quad \nu \sim \nu_K \text{ のとき } \zeta \gg 1. \quad (2.104) \rightarrow$$

$$\sigma_{\text{photo}} = \frac{6.3 \times 10^{-18}}{Z^2} \left(\frac{\nu_K}{\nu} \right)^{7/3} \quad (2.105)$$

L 殻, M 殻については複雑なので Davisson [2.32] 参照

~ MeV (非相対論的でない) のとき 断面積 $\propto Z^4$ or Z^5 なるので、

原子番号 Z が大きい物質では光電効果の影響が大きい

① PWD $\gamma \rightarrow e^- + \dots$ → γ 線検出器を選ぶとき重要 (後の chapter)

2.7.2 コンプトン散乱

光の粒子性をよく説明

自由電子と光子の散乱

→ 物質中で電子は束縛されているが、光子のエネルギーが B. E. より十分高いと
B. E. は無視できて、電子は自由と考えられる。

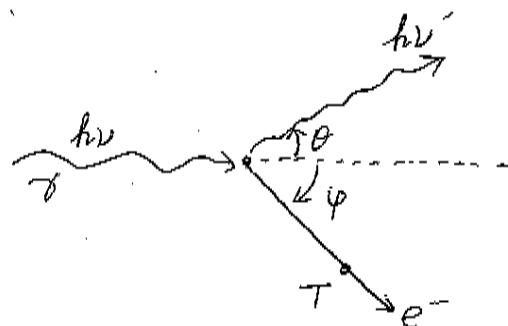
エネルギー保存から

$$h\nu = h\nu' + \frac{1}{2} m v^2 \quad \dots \textcircled{1}$$

運動量保存から

$$\frac{h}{\lambda} = \frac{h}{\lambda'} \cos \theta + m v \cos \varphi \quad \dots \textcircled{2}$$

$$\frac{h}{\lambda} \sin \theta - m v \sin \varphi = 0 \quad \dots \textcircled{3}$$



☒ 2.22 コンプトン散乱

②, ③で $\lambda' = \lambda$ と近似し $\sin^2 \varphi + \cos^2 \varphi = 1$ より φ 消去

$$2(1 - \cos \theta) \frac{h^2}{\lambda^2} = m^2 v^2 \quad \dots \textcircled{4}$$

$$\textcircled{1} \Leftrightarrow \frac{hc}{\lambda} = \frac{hc}{\lambda'} + \frac{1}{2} m v^2 \Leftrightarrow 2 \left(\frac{1}{\lambda} - \frac{1}{\lambda'} \right) m h c = m^2 v^2 = \textcircled{4}$$

$$\therefore \left(\frac{1}{\lambda} - \frac{1}{\lambda'} \right) m h c = (1 - \cos \theta) \frac{h^2}{\lambda^2} \quad \frac{1}{\lambda} - \frac{1}{\lambda'} \approx \frac{\lambda' - \lambda}{\lambda^2} \text{ より } \lambda' - \lambda = \frac{h}{m c} (1 - \cos \theta)$$

$$\frac{\frac{h\nu}{c}}{\frac{h\nu'}{c}} = \frac{\frac{h\nu}{c}}{\frac{h\nu}{mc^2}} (1 - \cos\theta)$$

$$\frac{\lambda'}{\lambda}$$

$$\frac{1}{\lambda'} = \frac{1}{\lambda} \frac{1}{1 + \gamma(1 - \cos\theta)} \xrightarrow{hc \text{倍}} h\nu' = \frac{h\nu}{1 + \gamma(1 - \cos\theta)} \quad \text{etc.}$$

① ~ ③ よりまとめると

$$\left\{ \begin{aligned} h\nu' &= \frac{h\nu}{1 + \gamma(1 - \cos\theta)} \\ T &= h\nu - h\nu' = h\nu \frac{\gamma(1 - \cos\theta)}{1 + \gamma(1 - \cos\theta)} \quad (2.106) \\ \cos\theta &= 1 - \frac{2}{(1 + \gamma)^2 \tan^2\varphi + 1} \\ \cot\varphi &= (1 + \gamma) \tan\frac{\theta}{2} \end{aligned} \right. , \quad \gamma \equiv \frac{h\nu}{m_e c^2}$$

行
T = エネルギー - 移動量

コンプトン散乱の断面積は量子電磁力学 (QED) を用いて初めて計算されたものの1つ
クライン-仁科の公式

$$\frac{d\sigma}{d\Omega} = \frac{r_e^2}{2} \frac{1}{[1 + \gamma(1 - \cos\theta)]^2} \left(1 + \cos^2\theta + \frac{\gamma^2(1 - \cos\theta)^2}{1 + \gamma(1 - \cos\theta)} \right) \quad (2.107)$$

r_e : 古典的な電子半径

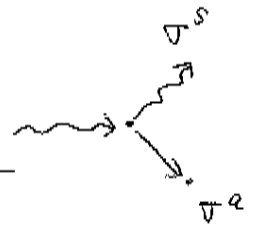
(2.107) を $d\Omega$ で積分して、1個の電子当りコンプトン散乱が起こる全確率 (断面積)

$$\sigma_c = 2\pi r_e^2 \left\{ \frac{1 + \gamma}{\gamma^2} \left[\frac{2(1 + \gamma)}{1 + 2\gamma} - \frac{1}{\gamma} \ln(1 + 2\gamma) \right] + \frac{1}{2\gamma} \ln(1 + 2\gamma) - \frac{1 + 3\gamma}{(1 + 2\gamma)^2} \right\} \quad (2.108)$$

$$\sigma_c = \sigma^s + \sigma^a \quad (2.109)$$

σ^s : scattered cross section 散乱した光子が持つエネルギー

σ^a : absorption cross section 反跳電子に移動したエネルギー



$$\frac{d\sigma^s}{d\Omega} = \frac{h\nu'}{h\nu} \frac{d\sigma}{d\Omega} \quad (2.110) \leftarrow (\text{断面積}) \times (\text{残った光子のエネルギーの割合})$$

積分すると

$$\sigma^s = \pi r_e^2 \left[\frac{1}{\gamma^3} \ln(1 + 2\gamma) + \frac{2(1 + \gamma)(2\gamma^2 - 2\gamma - 1)}{\gamma^2(1 + 2\gamma)^2} + \frac{8\gamma^2}{3(1 + 2\gamma)^3} \right] \quad (2.111)$$

$$\sigma^a = \sigma_c - \sigma^s \quad (2.112) \rightarrow \boxed{\times} 2.23$$

検出器の議論に使える他の公式として、

コンプトン散乱の反跳電子のエネルギー分布 $\rightarrow \boxed{\times} 2.24$

$$\frac{d\sigma}{dT} = \frac{\pi r_e^2}{m_e c^2 \gamma^2} \left[2 + \frac{s^2}{\gamma^2(1 - s^2)} + \frac{s}{1 - s} \left(s - \frac{2}{\gamma} \right) \right] \quad (2.113)$$

$$s = \frac{T}{h\nu}$$

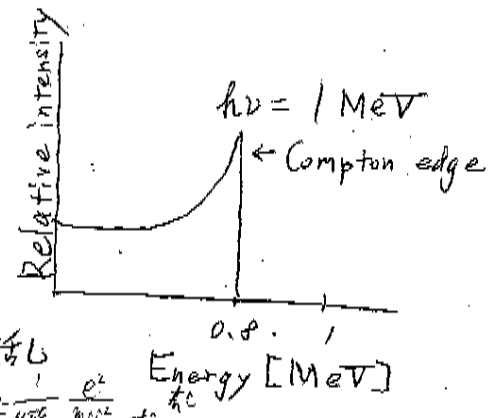
運動学的に許される最大反跳エネルギー

$$T_{max} = h\nu \left(\frac{2\gamma}{1+2\gamma} \right) \quad (12.106) \text{で } \cos\theta = -1 \quad (2.114)$$

↑ Compton edge 例, $h\nu = 1 \text{ MeV}$

$$\gamma = \frac{h\nu}{m_e c^2} = \frac{1}{0.511} \sim 2$$

$$T_{max} = \frac{4}{5} h\nu$$



トムソン, レイリ-散乱 古典的

・トムソン散乱: 古典的極限として自由電子と光子の散乱

$h\nu \ll m_e c^2$ で クライン-仁科の公式に含まれる, $r = \frac{1}{4\pi\epsilon_0} \frac{e^2}{m_e^2 c^4}$ 光

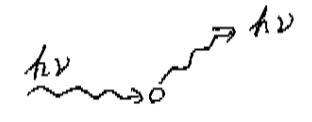
$$\sigma = \frac{8\pi}{3} r_e^2$$

$$m_e \frac{v^2}{r} = \frac{e^2}{4\pi\epsilon_0 r^2} \quad (2.115) \quad m_e \frac{v^2}{r} = \frac{1}{4\pi\epsilon_0} \frac{e^2}{r^2}$$

・レイリ-散乱: 原子全体と光子の散乱, コヒーレント散乱とも

これはエネルギー-物質がなないので、

原子は励起もイオン化もせず、光子の向きが変わるだけ

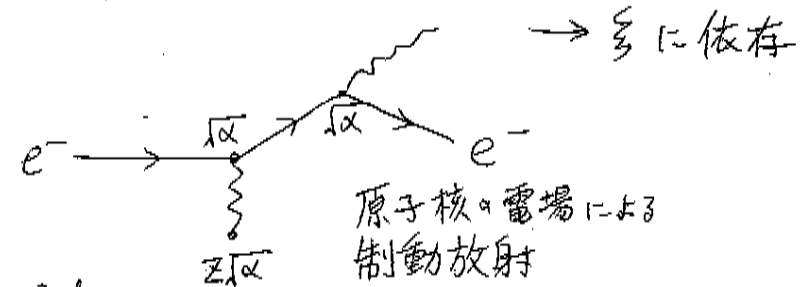
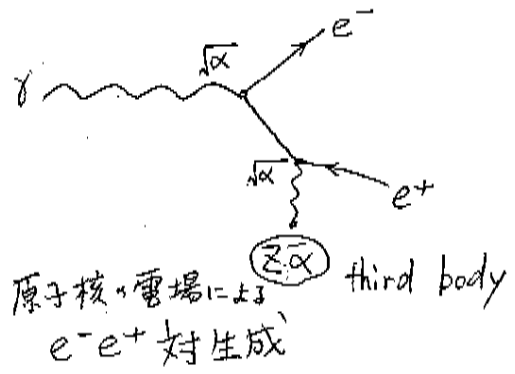


相対論的高エネルギーのX線, γ線では、トムソン, レイリ-散乱は無視できる。

2.7.3 対生成

$$h\nu > 1.022 \text{ MeV}$$

理論的には制動放射と対生成は関係



→ ξ に依存

$$(2.67) \text{式より} \quad \xi = \frac{100 m_e c^2 h\nu}{E_+ E_- Z^{1/3}}$$

$$(2.116)$$

E_+ : 飛び出す陽電子の全エネルギー

E_- : " 電子 "

極度に相対論的エネルギー → 任意の遮へい → ホルン近似

$$d\tau = 4Z^2 r_e^2 \alpha \frac{dE_+}{(h\nu)^3} \left\{ (E_+^2 + E_-^2) \left[\frac{\phi_1(\xi)}{4} - \frac{1}{3} \ln \xi - f(\xi) \right] + \frac{2}{3} E_+ E_- \left[\frac{\phi_2(\xi)}{4} - \frac{1}{3} \ln \xi - f(\xi) \right] \right\} \quad (2.117)$$

ϕ_1, ϕ_2 : 遮へい関数, 他の変数 (2.69) (2.68) で定義

全く遮へいされていないとき ($\xi \gg 1$)

$$d\tau = 4Z^2 \alpha r_e^2 dE_+ \frac{E_+^2 + E_-^2 + 2E_+ E_- / 3}{(h\nu)^3} \left[\ln \frac{2E_+ E_-}{h\nu m_e c^2} - \frac{1}{2} - f(\xi) \right] \quad (2.118)$$

完全に遮へいされるとき ($\xi \rightarrow 0$)

$$d\tau = 4Z^2 \alpha r_e^2 \frac{dE_+}{(h\nu)^3} \left\{ \left(E_+^2 + E_-^2 + \frac{2E_+ E_-}{3} \right) \left[\ln(1/3 Z^{-1/3}) - f(\xi) \right] - \frac{E_+ E_-}{9} \right\} \quad (2.119)$$

ボルン近似を用いるので (Z が大きすぎる) ^{or} 低エネルギー) では正確でない。

低エネルギーや遮へいされないときの詳細な計算は [2.10] 参照

対生成の断面積を得るために数値積分する。

全く遮へいされない ($\xi \gg 1$) $m_e c^2 \ll h\nu \ll 137 m_e c^2 Z^{-1/3}$ のとき

$$\tau_{pair} = 4Z^2 \alpha r_e^2 \left[\frac{7}{9} \left(\ln \frac{2h\nu}{m_e c^2} - f(Z) \right) - \frac{109}{54} \right] \quad (2.120)$$

同様に完全に遮へいされている ($\xi \rightarrow 0$), $h\nu \gg 137 m_e c^2 Z^{-1/3}$ のとき

$$\tau_{pair} = 4Z^2 \alpha r_e^2 \left\{ \frac{7}{9} \left[\ln(183 Z^{-1/3}) - f(Z) \right] - \frac{1}{54} \right\} \quad (2.121)$$

他の場合 \rightarrow (2.117) をそのまま数値積分

原子内電子の作る電場による対生成もある。断面積 Z は小さい

$Z^2 \rightarrow Z(Z+1)$ に置換

全断面積から対生成の平均自由行程 λ_{pair} を計算

$$\frac{1}{\lambda_{pair}} = N \tau_{pair} \approx \frac{7}{9} 4Z(Z+1) N r_e^2 \alpha \left[\ln(183 Z^{-1/3}) - f(Z) \right] \quad (2.122)$$

N : 原子密度 (個/cm³), τ_{pair} (cm²/個)

(2.81) との比較で

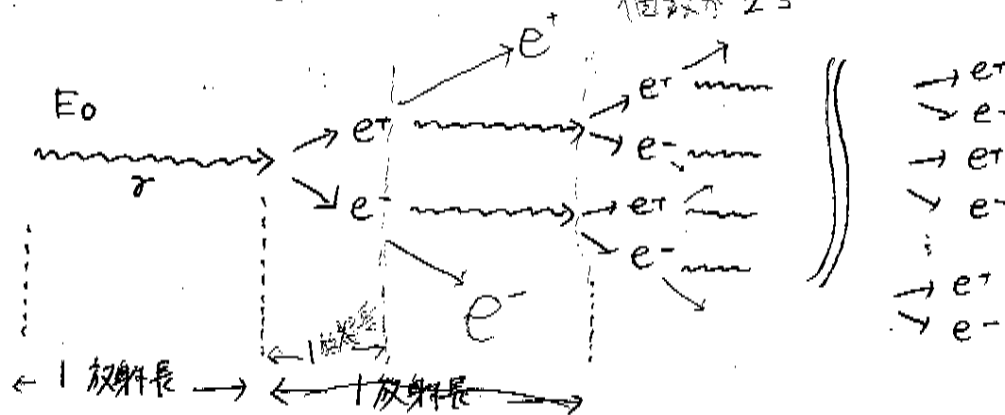
$$\lambda_{pair} \approx \frac{9}{7} L_{rad} \quad \uparrow \text{放射長}$$

INERTIAL
ELECTRONS 3) 7) 1) 2)
光子損失

EMISSIVE
ELECTRONS

2.7.4 Electron-Photon Showers

高エネルギーの光子が物質に入ると、 e^+e^- 対生成がおき。生成した e^+e^- は制動放射におき光子を出し、再び e^+e^- 対生成がおき...、という過程が光子が対生成の臨界エネルギーを切るまで続く。これを、カスケードないし、シャワーと呼ぶ。



光子、電子、陽子、中性子の個数が 2^n

1放射長 = $2^n E_0$ が $(E_0 / (2^n E_c))$

平均個数	2^n	4^n	2^{2n}
平均エネルギー	$E_0/2$	$E_0/4$	$E_0/2^n$

シャワーの広がり

シャワーの侵入長を評価してみよう。臨界エネルギーを E_c とし、侵入の度合い t_{max} について解くと、

$$\frac{E_0}{2^{t_{max}}} = E_c \Rightarrow t_{max} = \frac{\log E_0/E_c}{\log 2}$$

$E_0 \rightarrow 100 E_c$
 $t_{max} \rightarrow \log_2 100 \approx 6.64$

よって、このときの e^+e^- の最大の個数は $N_{max} = E_0/E_c$

正確な評価は、モンテカルロシミュレーションなどにより行う必要がある。

次に、ビームの（進行方向に对する）横方向の広がりを考える。

よく用いられる指標として、モリエール半径がある。

$$R_M = L_{rad} \frac{E_s}{E_c}$$

where L_{rad} ... 放射長

$$E_s = \frac{mec^2}{L} \sqrt{\frac{4\pi}{\alpha}} \approx 21.2 \text{ MeV}$$

511 keV

E_c ... 臨界エネルギー

モリエール半径は、ほぼ物質に依らない量となっている。

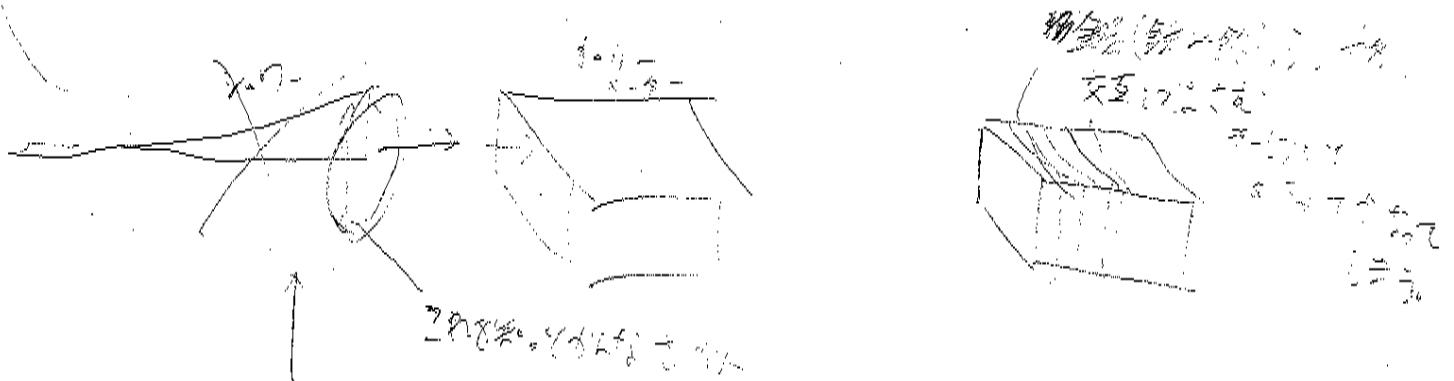
L_{rad} 同様、化合物・混合物に对して、Bragg ルールが適用できる。

半径 $2R_M$ 以内に、全エネルギーの 90% が集中する。

★ コリメータへの応用。

ビームの分析は、コリメータの設計には、決定的に重要。

例) 鉄で 30 GeV のビームを吸収するには、20 放射長が必要。



* ビームは円錐状に広がるが、モリエール半径は距離に比例する。

• 2.7.5 The Total Absorption Coefficient
and Photon Attenuation

1 原子あたりの、全断面積は、各過程の和で与えられる。

$$\sigma = \sigma_{\text{photo}} + \sum \sigma_{\text{comp}} + \sigma_{\text{pair}}$$

⋮
⋮
⋮
 光電効果 コンプトン 対生成

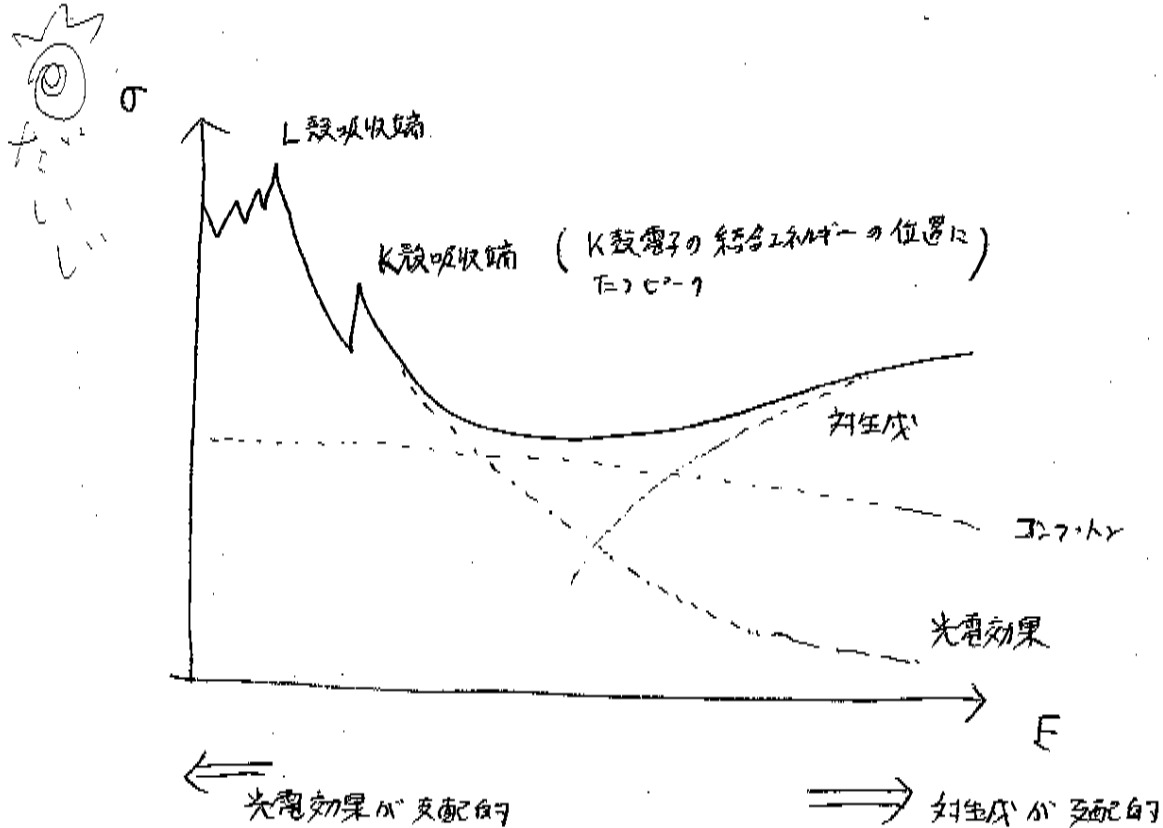
それは、1つの原子にあり電子の数である。

よって、原子の数密度 N の積を全吸収係数という

$$\mu \equiv \sigma N = \sigma \left(\frac{N_A \rho}{A} \right)$$

2.12 より、(平均自由行程との関係は、)

$$I/I_0 = \exp(-\mu x)$$



2.8 中性子の相互作用

電荷がないので、電磁相互作用はしない、核子の強い相互作用を受ける。
非常に透過力がある。

・ 核子との反応の種類

(1) 弾性散乱 $A(n, n)A$

MeV 程度の中性子のエネルギー損失の X イン

(2) 非弾性 $A(n, n')A^*$

1 MeV かそれ以上の中性子、原子核は励起され、崩壊する。

(3) 放射を伴う中性子捕獲 $n + (Z, A) \rightarrow \gamma + (Z, A+1)$

断面積がだいたい $1/v \Rightarrow$ 低エネルギーで起こりやすい。

物質固有のピークも存在。

(4) その他の核反応

例: (n, p) (中性子吸収 \rightarrow 陽子放出)

eV, keV 程度で起こりやすい。断面積は $\sim 1/v$ で小さくなる。

物質に依り共鳴あり。

(5) 核分裂 (n, f)

熱中性子 ($\sim 1/40$ eV) で起こる。

(6) 高エネルギーでのハドロン生成

100 MeV より大きい所で起こる。

・ エネルギーによる呼び名

極低温

熱中性子

高速

高エネルギー

meV, μ eV

$1/40$ eV

数 MeV

100 MeV \sim

全断面積と原子核密度から、平均自由行程は

$$\frac{1}{\lambda} = N \sigma_{\text{tot}} = \frac{N_A \rho}{A} \sigma_{\text{tot}}$$

物質を通り抜ける中性子の個数は

$$N = N_0 e^{-\frac{x}{\lambda}}$$

2.8.1 中性子の減速 (moderation)

- 中性子は物質中で散乱をくり返し、熱的に ($\sim 1/40 \text{ eV}$) 核に吸収されたり減速する。
 → 核に吸収されたり、核分裂等を引き起こしたりする。

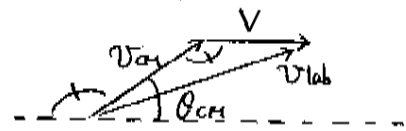
- 高エネルギーでは弾性散乱において主にエネルギーを失う。
 数 MeV の領域では、非相対論的に考えてよい ($m_n = 940 \text{ MeV}$)
 以後、中性子の質量を単位とする。

静止している原子核 (質量 $M=A$) に速度 v_0 で衝突するときを考える。

CM系では、 $v_{\text{cm}} = \frac{A}{A+1} v_0$, $V = \frac{1}{A+1} v_0$

弾性衝突の後の中性子の速度 v_{lab} は、

$$(v_{\text{lab}})^2 = (v_{\text{cm}})^2 + V^2 - 2v_{\text{cm}}V \cos(\pi - \theta_{\text{cm}})$$

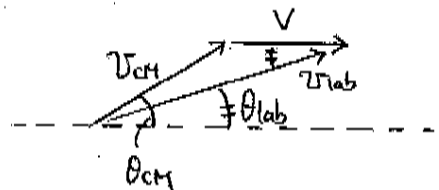


このとき、元のエネルギーと散乱後のエネルギーの比は

$$\frac{E}{E_0} = \frac{A^2 + 1 + 2A \cos \theta_{\text{cm}}}{(A+1)^2}$$

また、散乱角の関係は、

$$(v_{\text{cm}})^2 = V^2 + (v_{\text{lab}})^2 - 2v_{\text{lab}}V \cos \theta_{\text{lab}}$$



より、

$$\cos \theta_{\text{lab}} = \frac{A \cos \theta_{\text{cm}} + 1}{\sqrt{A^2 + 1 + 2A \cos \theta_{\text{cm}}}}$$

反跳 $L=$ 原子核 については、速度 V_{lab} は

$$\begin{aligned} (V_{\text{lab}})^2 &= 2V^2 - 2V^2 \cos(\pi - \phi_{\text{cm}}) = 2V^2(1 + \cos \phi_{\text{cm}}) \\ &= 2V \cos \phi_{\text{lab}} \end{aligned}$$

よて、エネルギーは

$$E_A = \frac{1}{2} A V_{lab}^2 = E_0 \frac{2A}{(A+1)^2} (1 + \cos \phi_{cm})$$

散乱角の関係は、

$$\phi_{cm} = 2\phi_{lab}, \quad \cos \phi_{lab} = \sqrt{\frac{1 + \cos \phi_{cm}}{2}}$$

散乱後の中性子のエネルギーは、

$$\left(\frac{A-1}{A+1}\right)^2 E_0 < E < E_0 \quad \text{の範囲にある。}$$

特に $A=1$ (陽子) では $0 < E < E_0$ 。

※ 中性子の減速には水やパラフィンを用いる。

• 散乱後の中性子のエネルギー分布

15 MeV 程度までのエネルギーであれば S 波散乱のみと考えてよい。

立体角 $d\Omega$ に散乱される確率 dw は

$$dw = \frac{d\Omega}{4\pi} = \frac{1}{2} \sin \theta_{cm} d\theta_{cm}$$

また、

$$\frac{dE}{E_0} = \frac{2A}{(A+1)^2} d(\cos \theta_{cm}) = \frac{2A}{(A+1)^2} \sin \theta_{cm} d\theta_{cm}$$

よて

$$\frac{dw_1}{dE} = \frac{(A+1)^2}{4A} \frac{1}{E_0} = \frac{1}{E_0(1-\alpha)} \quad \left(\alpha \equiv \left(\frac{A-1}{A+1}\right)^2 \right)$$

つまり、1回の散乱後のエネルギー分布は

$\alpha E_0 < E < E_0$ の間で均一。

2回目の散乱後の分布は、

$$\frac{dw_2}{dE} = \begin{cases} \frac{1}{E_0(1-\alpha)^2} \ln \frac{E_0}{E} & \alpha E_0 < E < E_0 \\ -\frac{1}{E_0(1-\alpha)^2} \left[\ln \frac{E_0}{E} + 2 \ln \alpha \right] & \alpha^2 E_0 < E < E_0 \end{cases}$$

3回散乱すこと。

$$\frac{dw_3}{dE} = \begin{cases} \frac{1}{2E_0(1-\alpha)^3} \left(\ln \frac{E_0}{E} \right)^2 & \alpha E_0 < E < E_0 \\ -\frac{1}{2E_0(1-\alpha)^3} \left[2 \left(\ln \frac{E_0}{E} \right)^2 + 6 \ln \alpha \cdot \ln \frac{E_0}{E} + 3 (\ln \alpha)^2 \right] & \alpha^2 E_0 < E < E_0 \\ \frac{1}{2E_0(1-\alpha)^3} \left(\ln \frac{E_0}{E} + 3 \ln \alpha \right)^2 & \alpha^3 E_0 < E < E_0 \end{cases}$$

特に水素原子核との n 回衝突後は、

$$\frac{dw_n}{dE} = \frac{1}{E_0(n-1)!} \left(\ln \frac{E_0}{E} \right)^{n-1}$$

○ 中性子のエネルギーが E_0 から E まで減少するまでの衝突回数

$$u := \ln E_0 - \ln E = \ln \frac{E_0}{E} \quad : \text{ lethargy change}$$

1回の散乱後では、

$$u = \ln \frac{(A+1)^2}{A^2+1+2A \cos \theta_{CM}}$$

これを全立体角で平均すると、1回の散乱での u の平均は、

$$\begin{aligned} \xi = \langle u(\theta) \rangle &= \int d(\cos \theta_{CM}) \ln \frac{(A+1)^2}{A^2+1+2A \cos \theta_{CM}} \cdot \frac{1}{4\pi} \\ &= 1 + \frac{(A-1)^2}{2A} \ln \frac{A-1}{A+1} \end{aligned}$$

例 ^{12}C は $\xi \approx 0.158$. 中性子が 1 MeV から 熱的 ($1/40 \text{ eV}$) になるまでには、

$$n = \frac{1}{0.158} \cdot \ln \left(\frac{10^6}{1/40} \right) \approx 111 \text{ 回}$$

水素は $\xi = 1$ で、

$$n = \frac{1}{1} \ln \left(\frac{10^6}{1/40} \right) \approx 17.5 \text{ 回}$$

CH₂ の場合
 パラフィン中の H は 2 から 7 まで 平均 4 の割合で
 $\sigma \approx 20 \text{ barn}$
 $\lambda = \frac{1}{N \sigma} = \frac{1}{2N_{\text{CH}_2} \cdot 20 \cdot 10^{-28}} \approx 0.5 \text{ cm}$